

FIG. 1

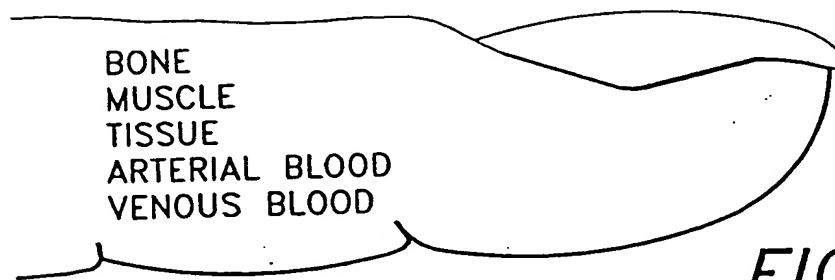
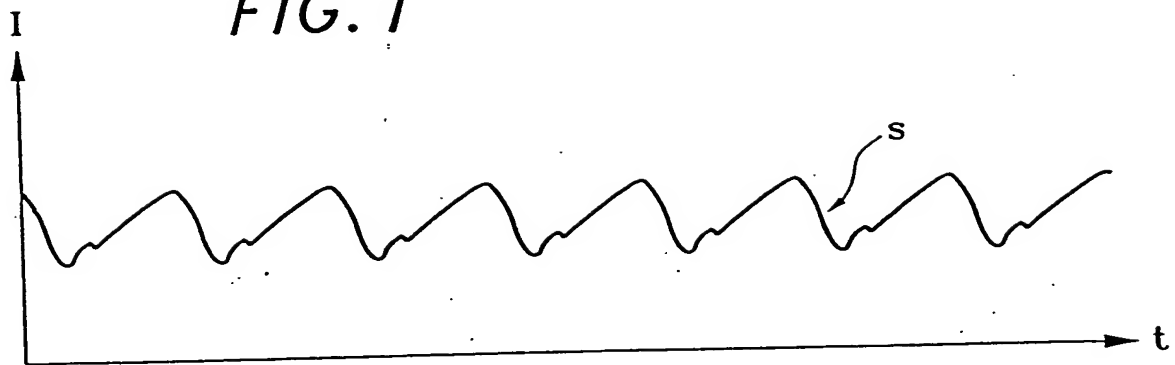


FIG. 2

FIG. 3



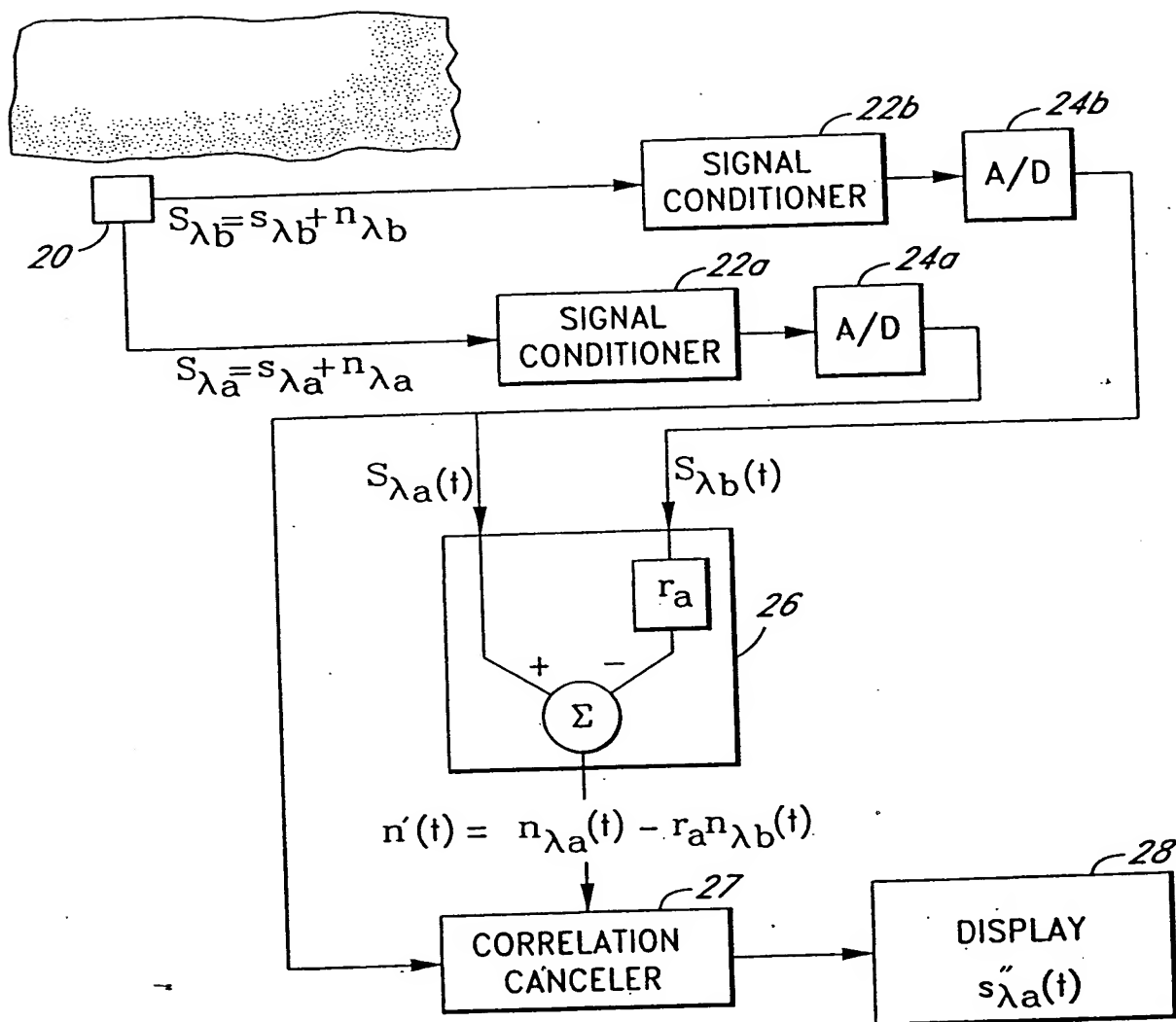


FIG. 4a

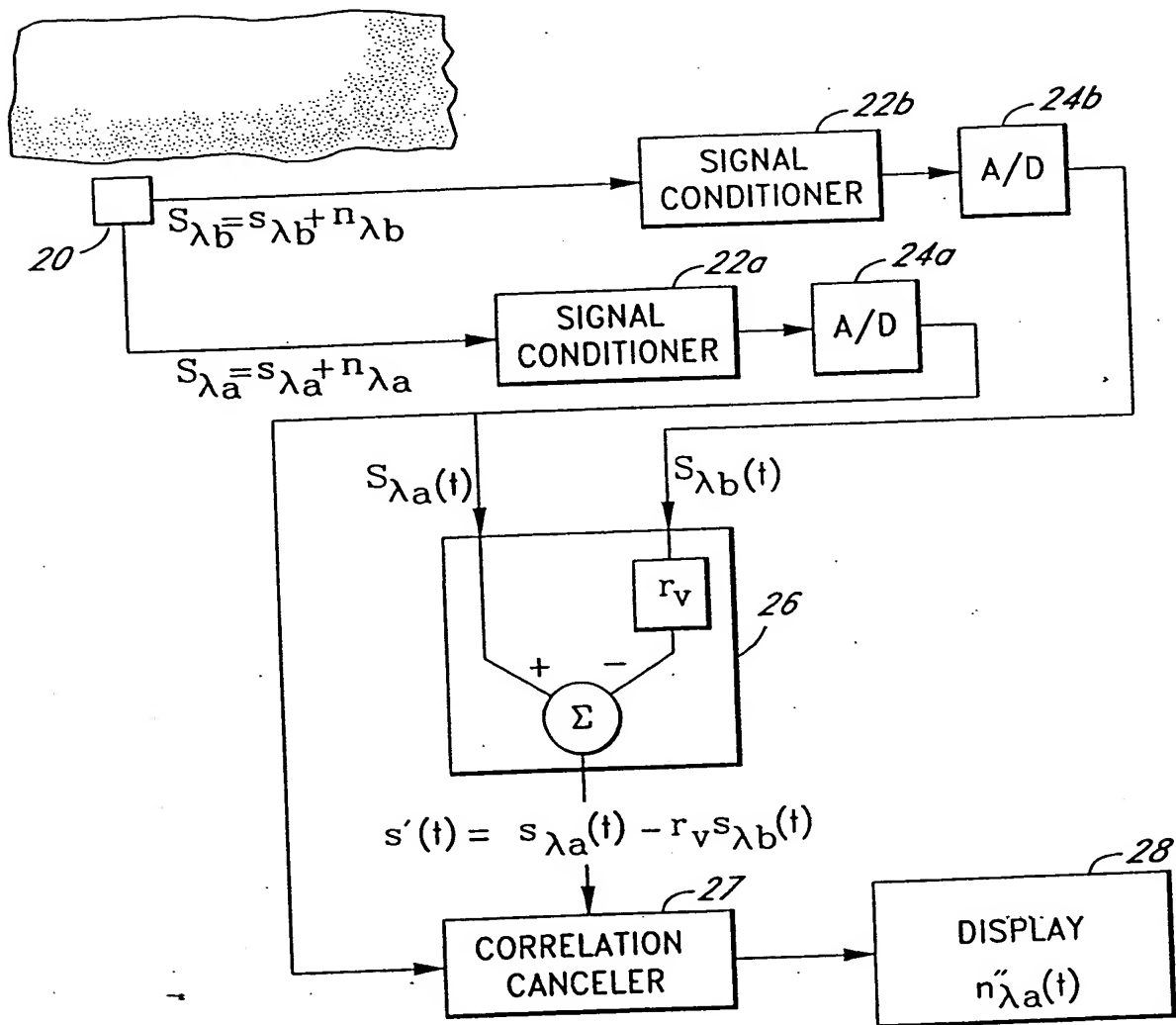


FIG. 4b

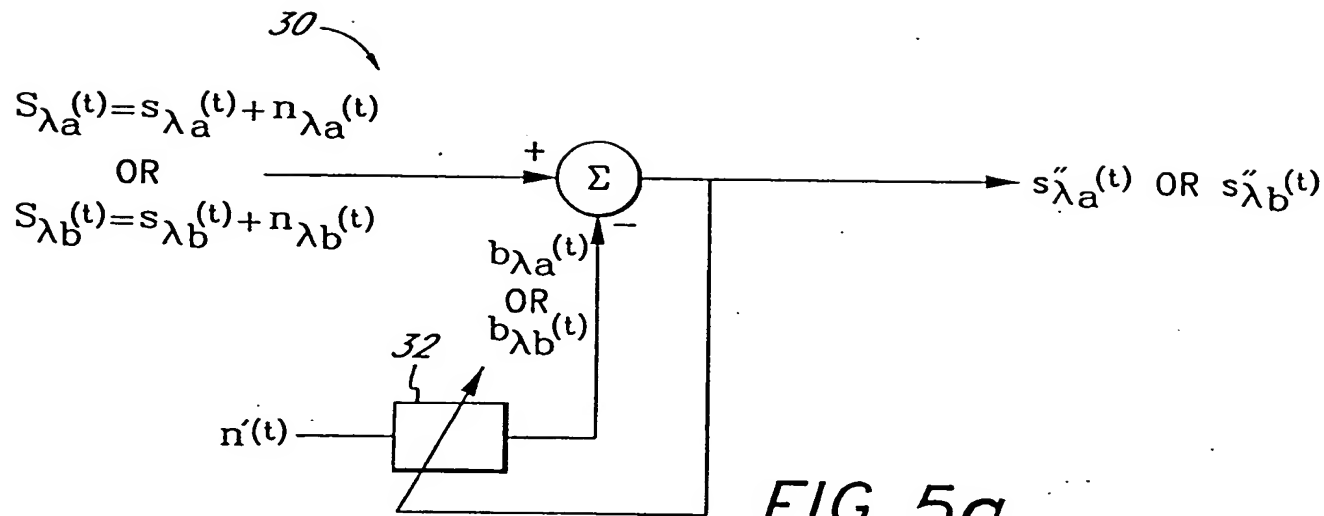


FIG. 5a

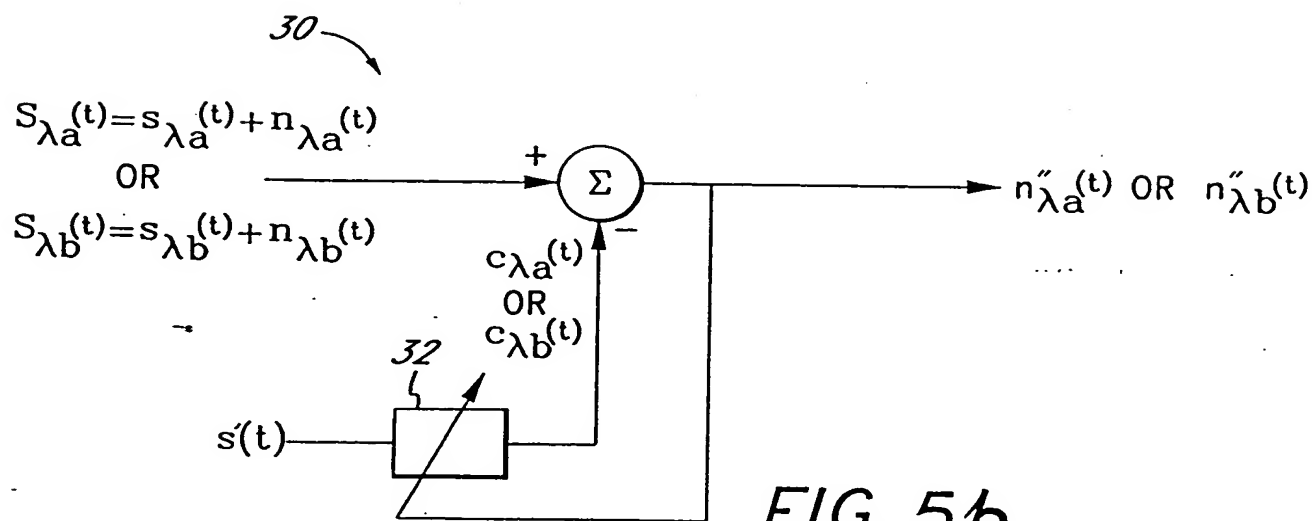


FIG. 5b

15062259 043000

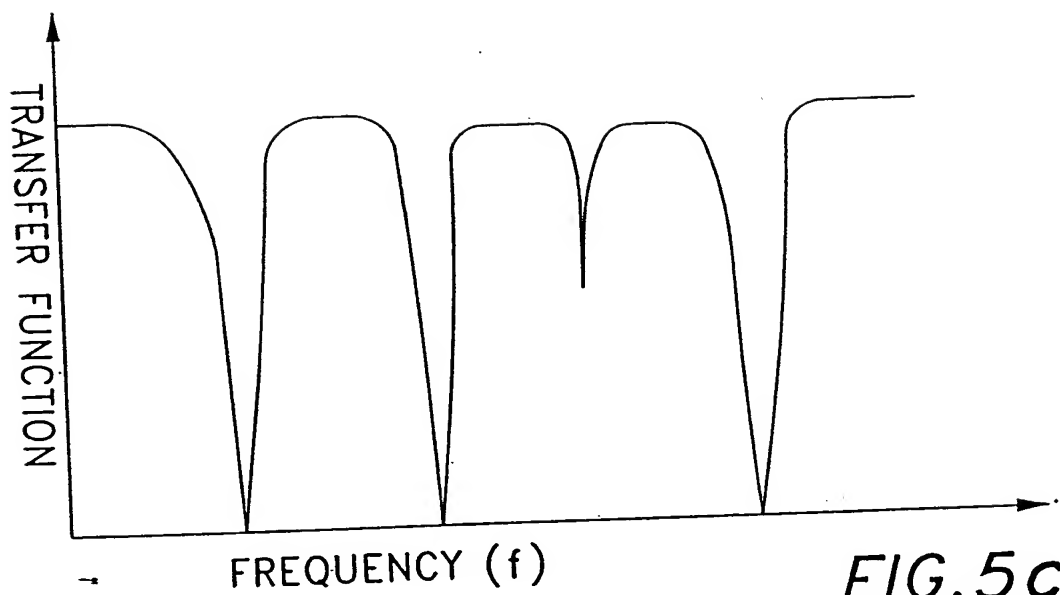


FIG.5c

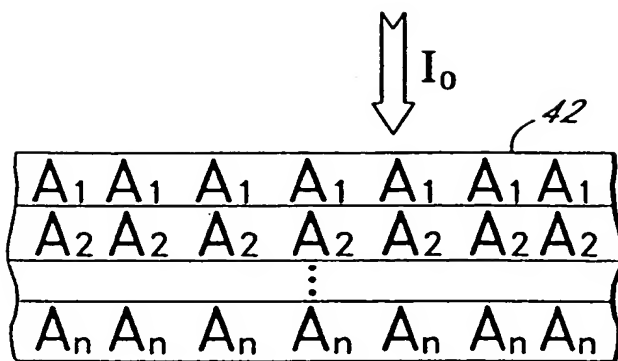


FIG. 6a

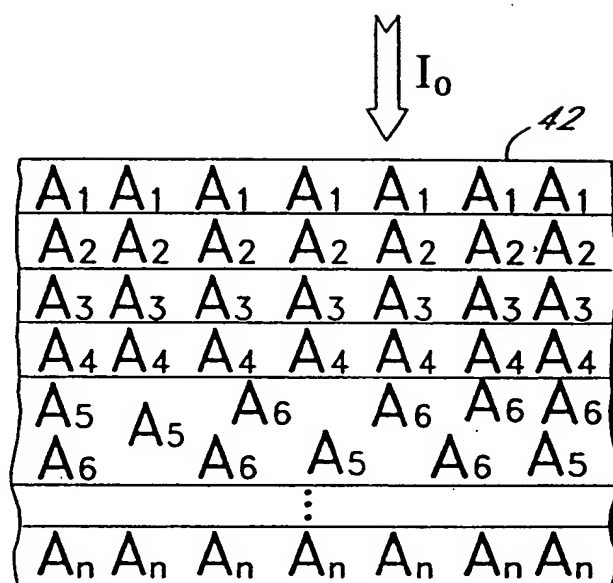


FIG. 6b

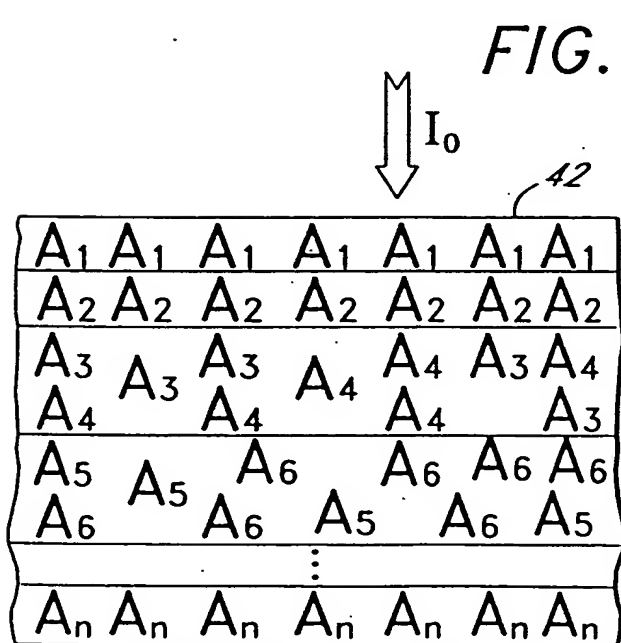


FIG. 6c

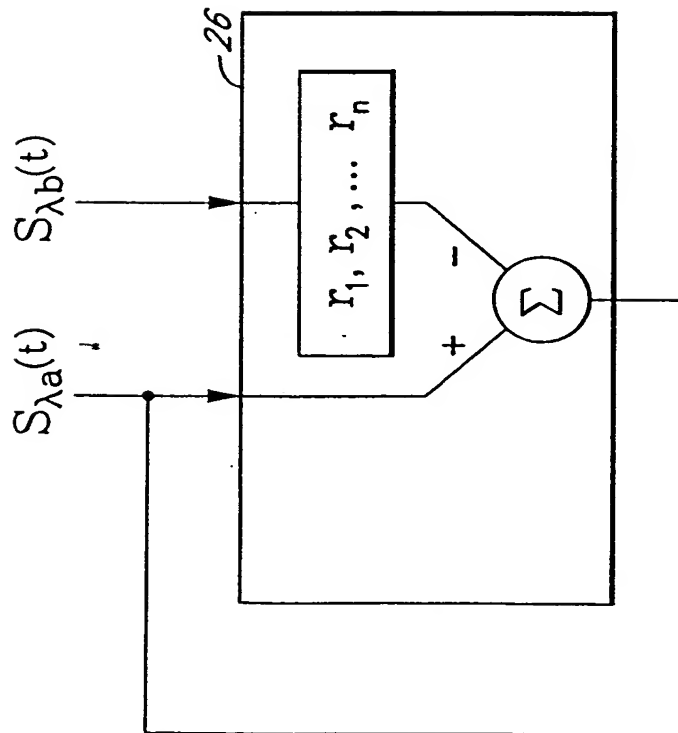


FIG. 7a

$$\begin{aligned} R'(r_1, t) &= S_{\lambda a}(t) - r_1 S_{\lambda b}(t) + N_{\lambda a}(t) - r_1 N_{\lambda b}(t) \\ R'(r_2, t) &= S_{\lambda a}(t) - r_2 S_{\lambda b}(t) + N_{\lambda a}(t) - r_2 N_{\lambda b}(t) \\ &\vdots \\ R'(r_n, t) &= S_{\lambda a}(t) - r_n S_{\lambda b}(t) + N_{\lambda a}(t) - r_n N_{\lambda b}(t) \end{aligned}$$

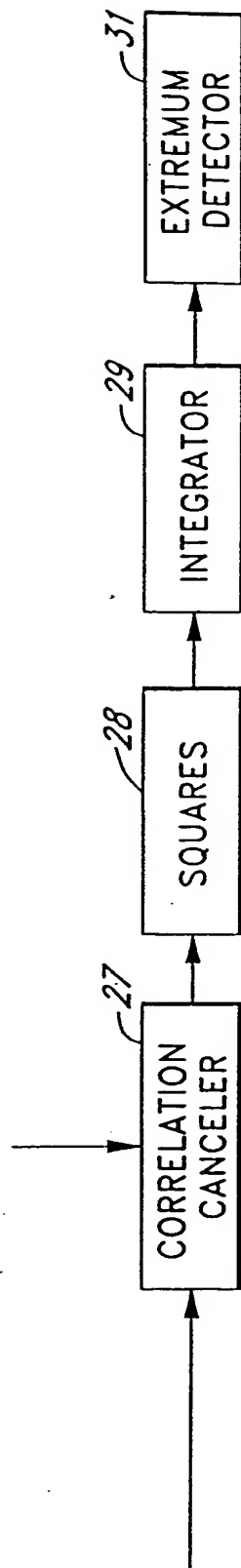


FIG. 7b

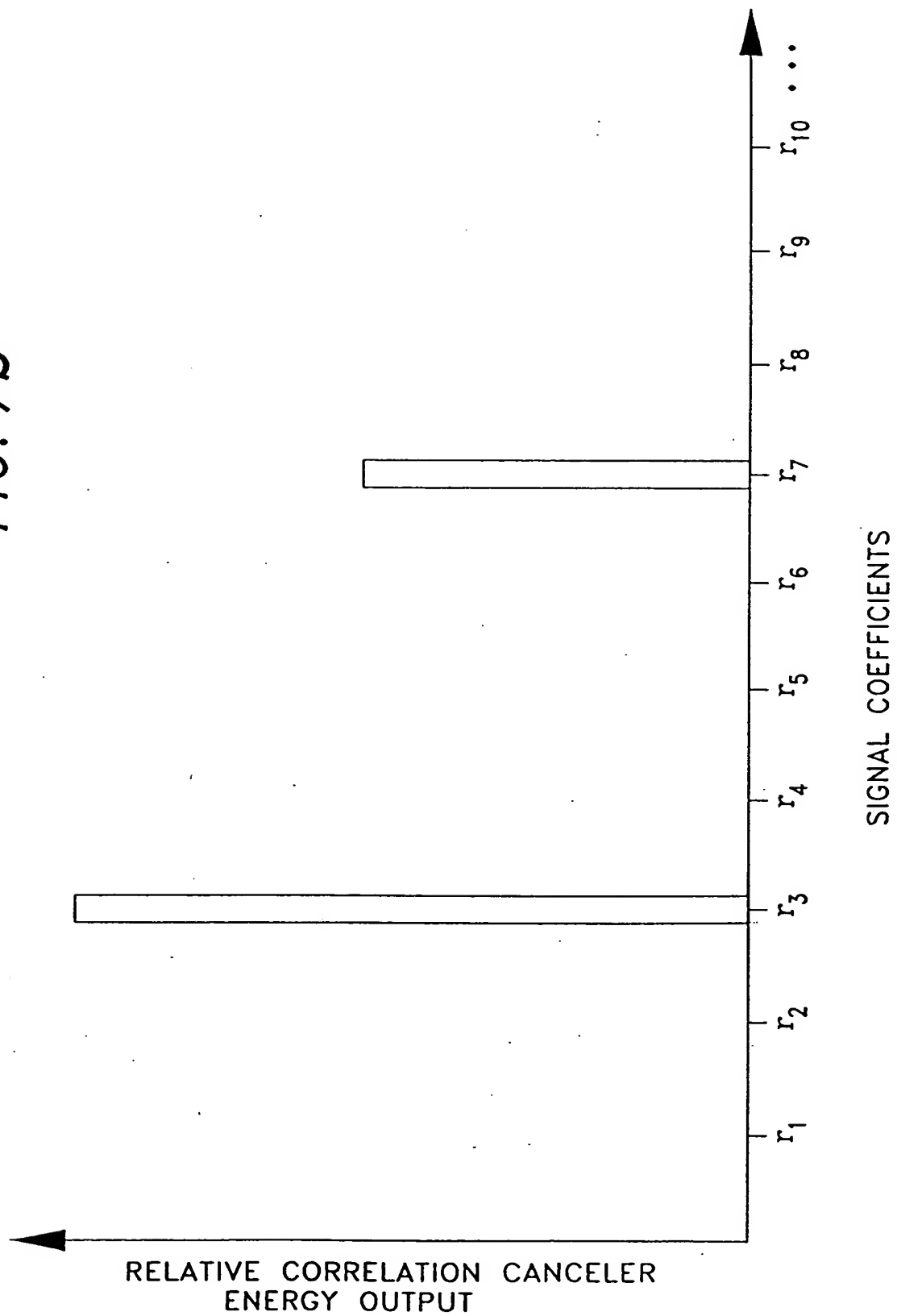


FIG. 7C

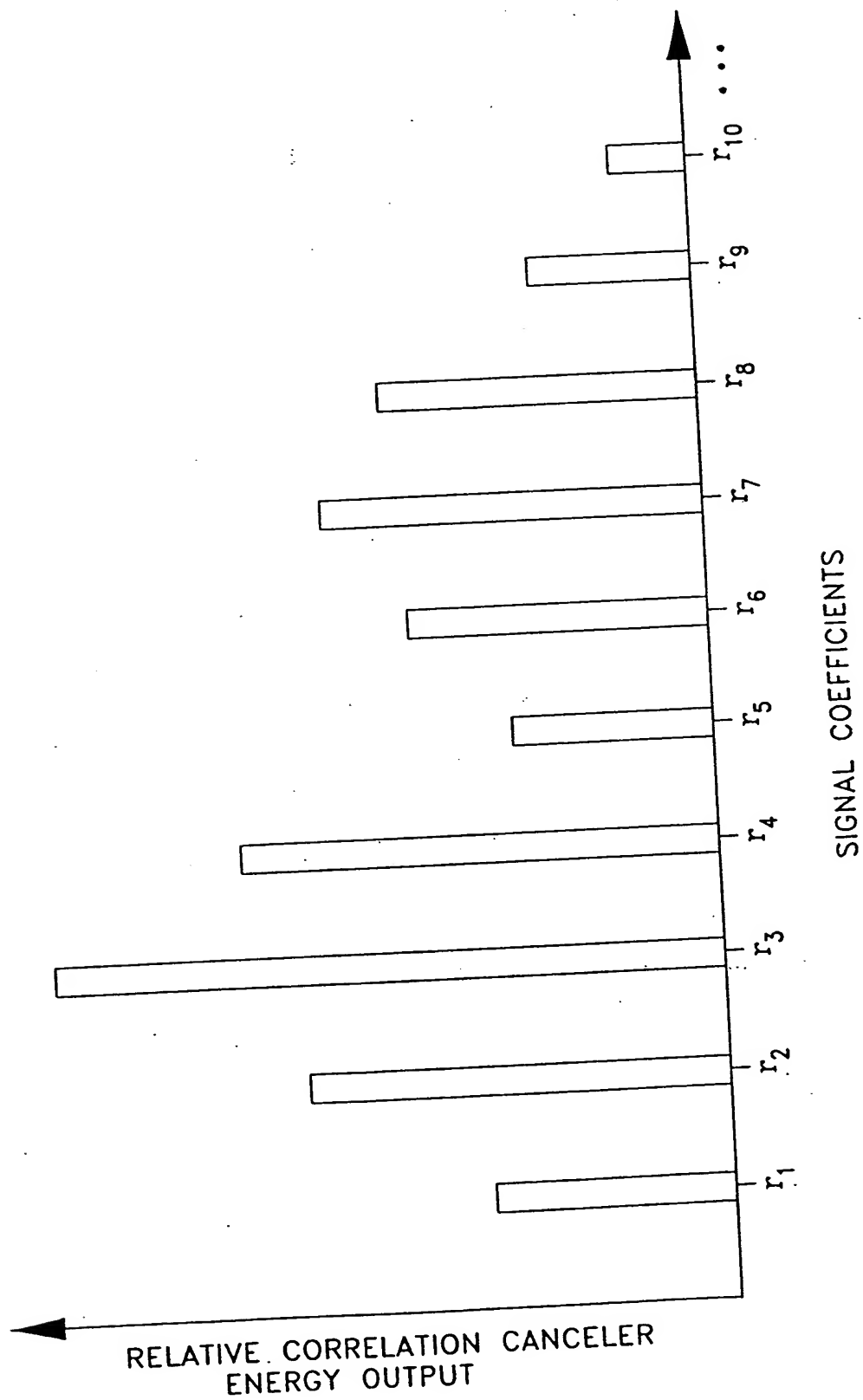
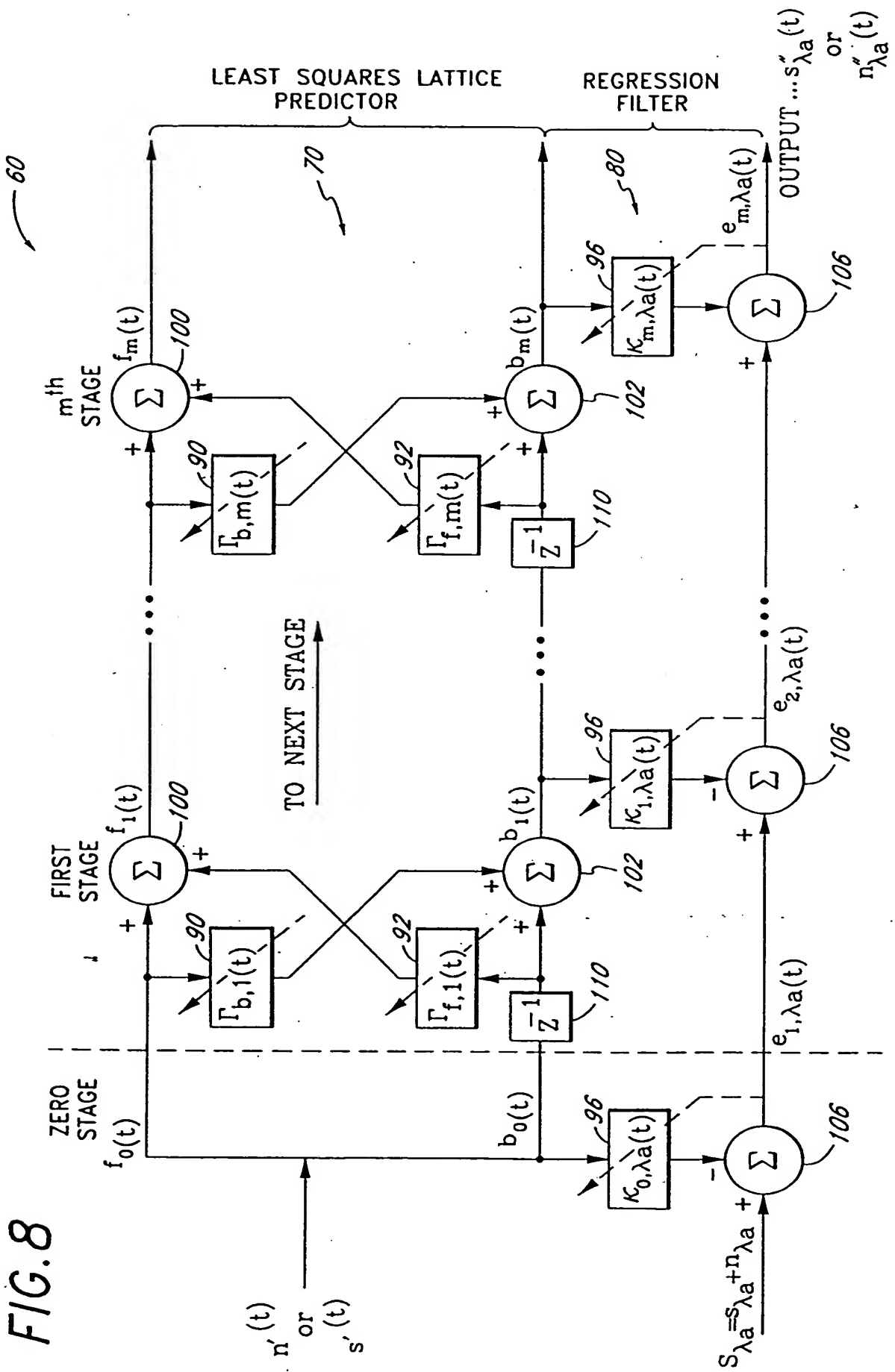


FIG. 8



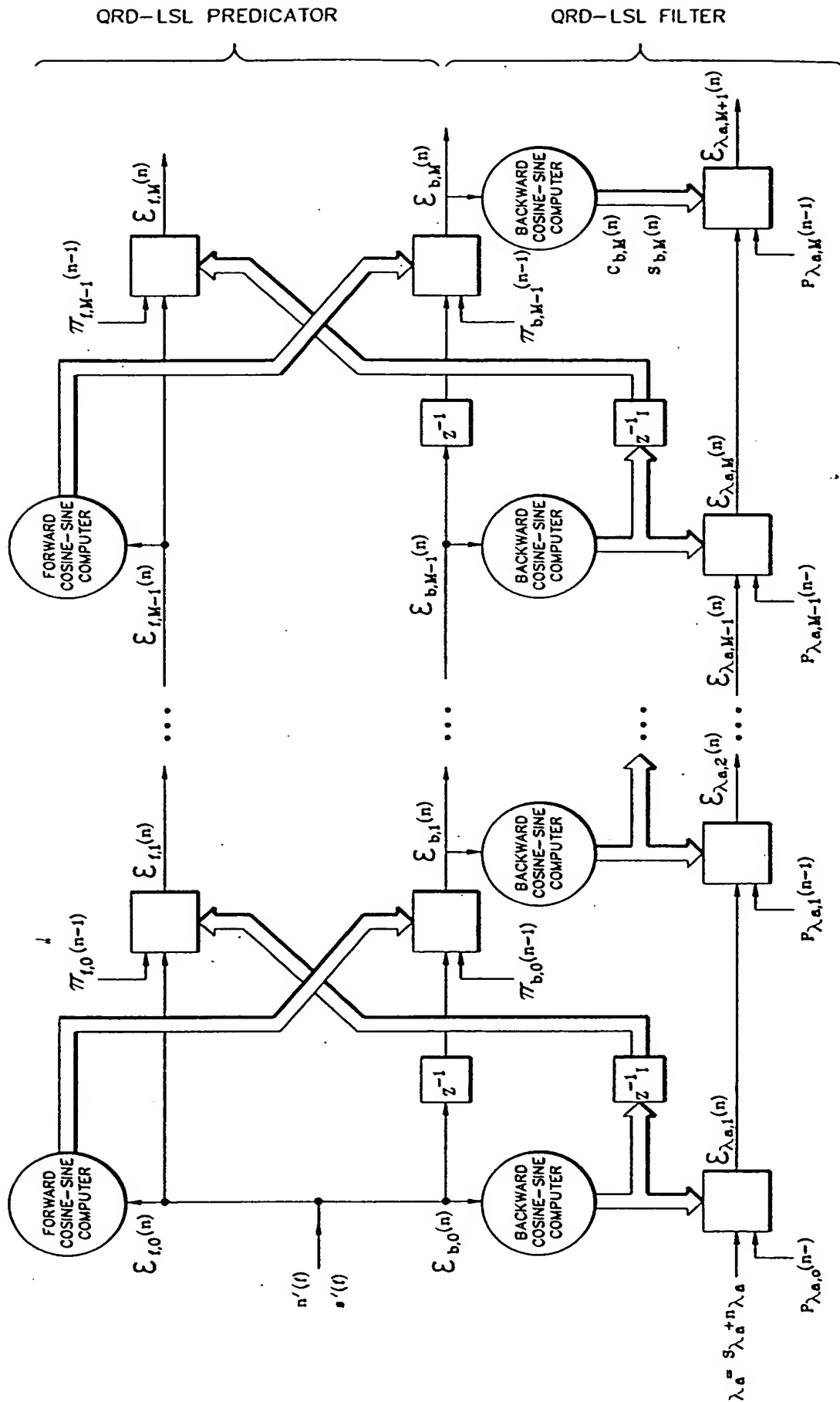


FIG. 8a

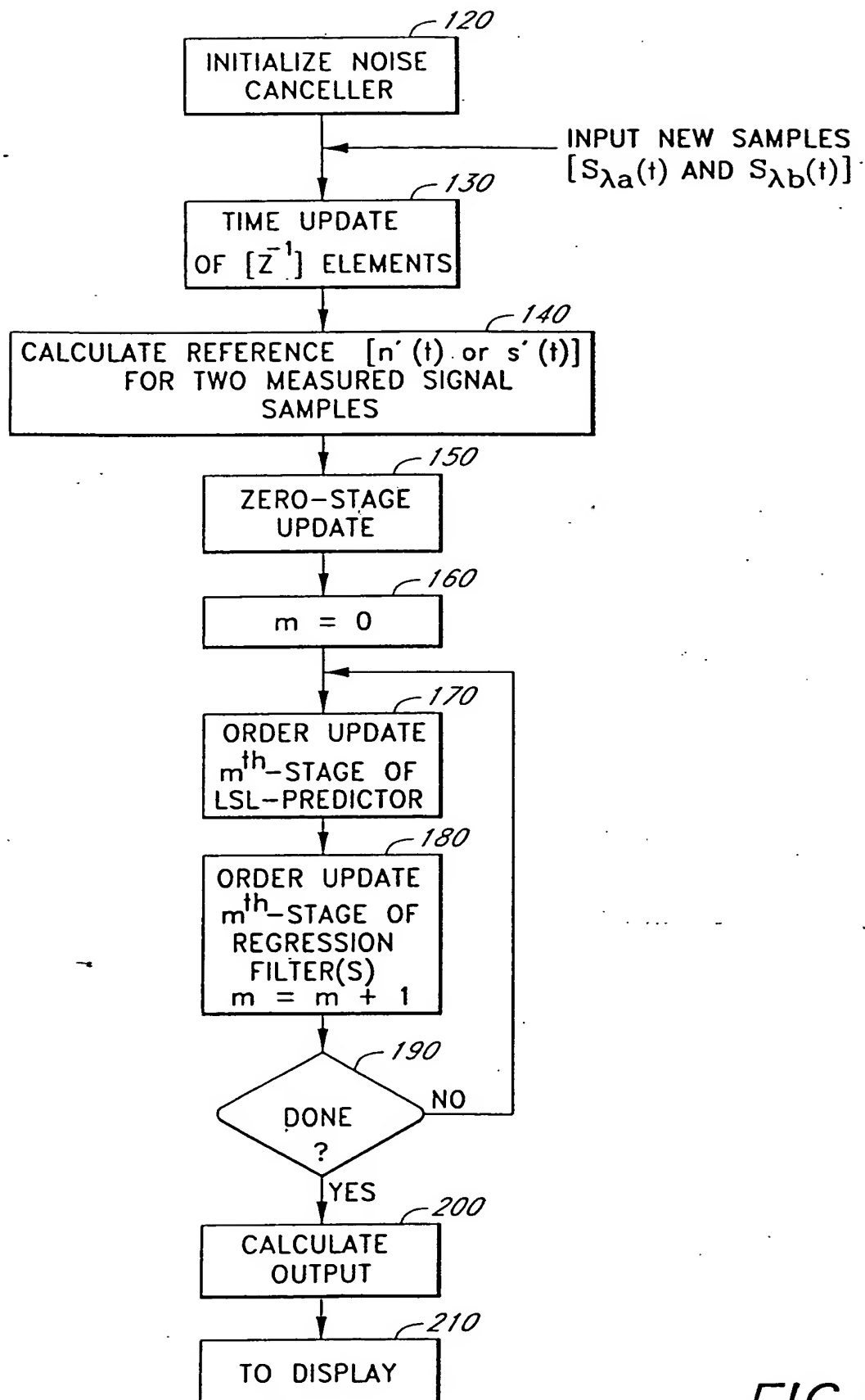


FIG.9

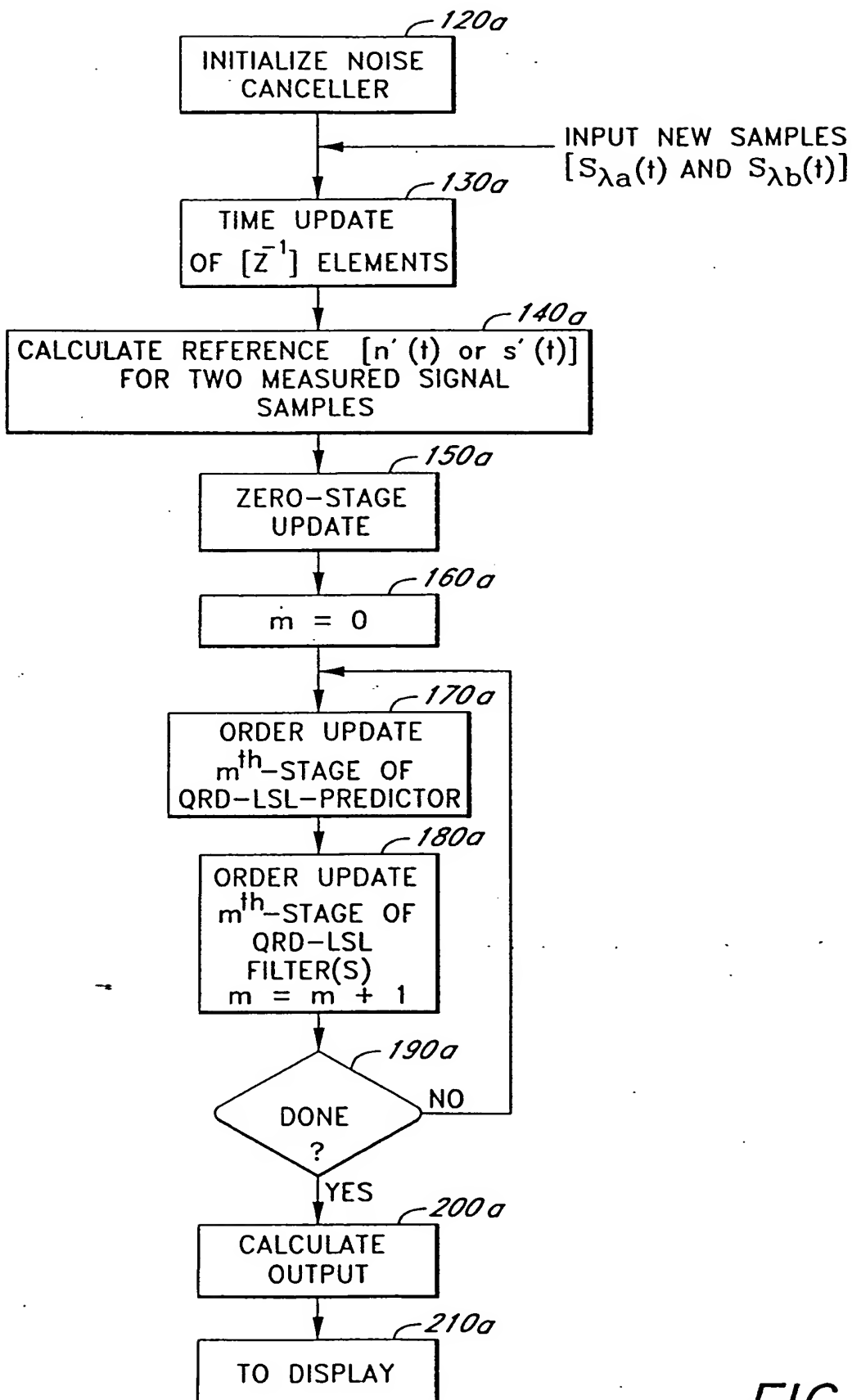
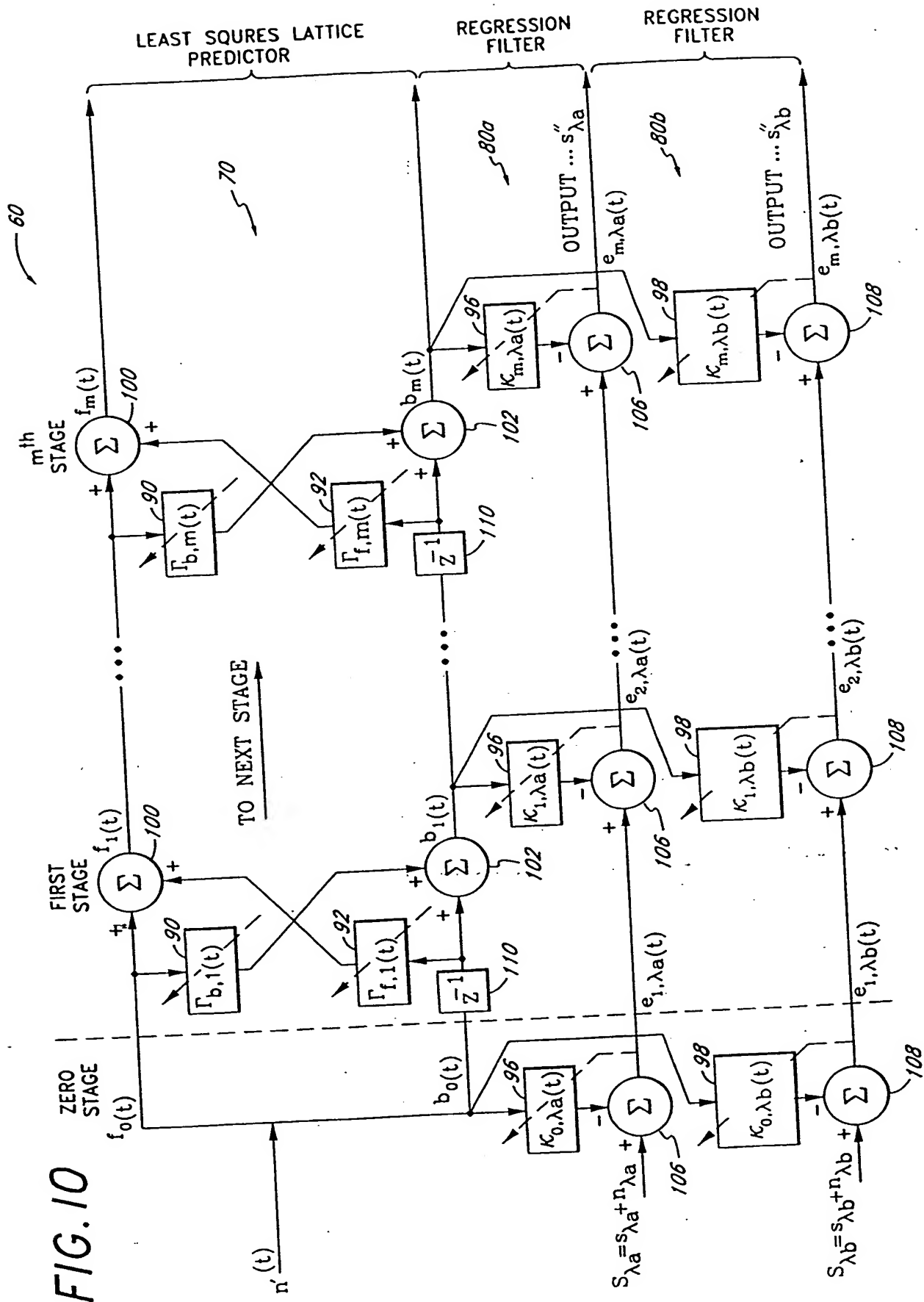


FIG. 9a



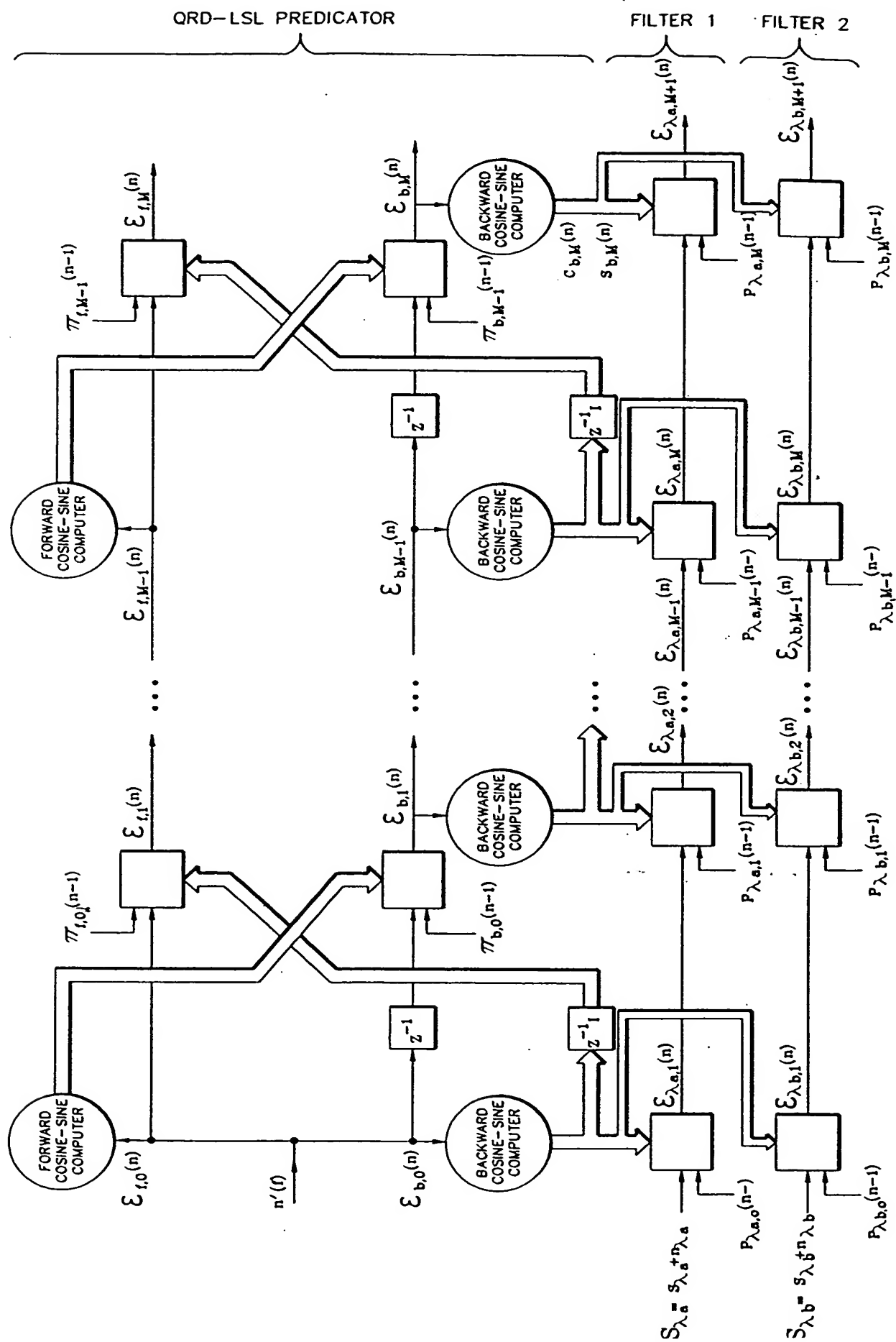


FIG. 10a

299

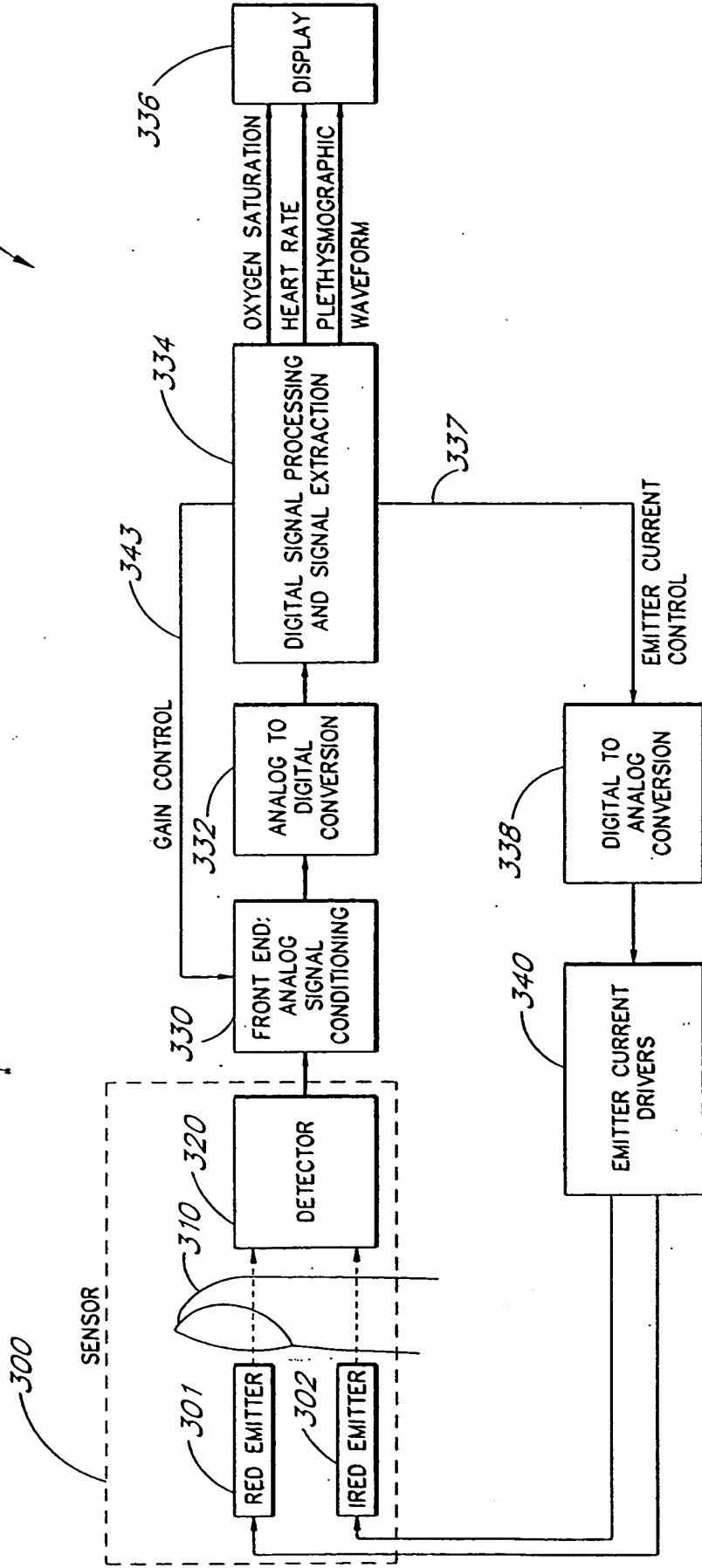


FIG. 11

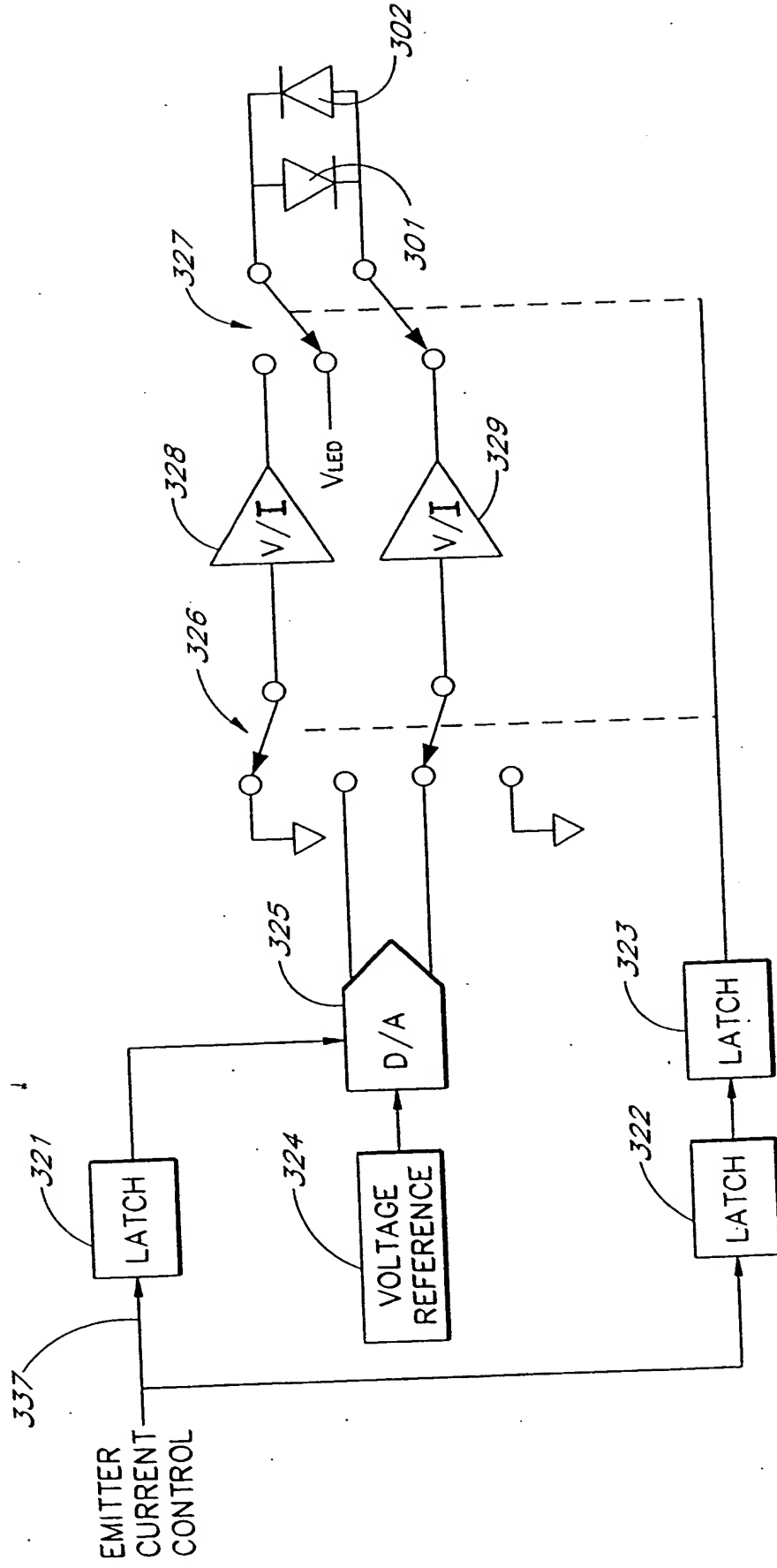


FIG. 11A

300

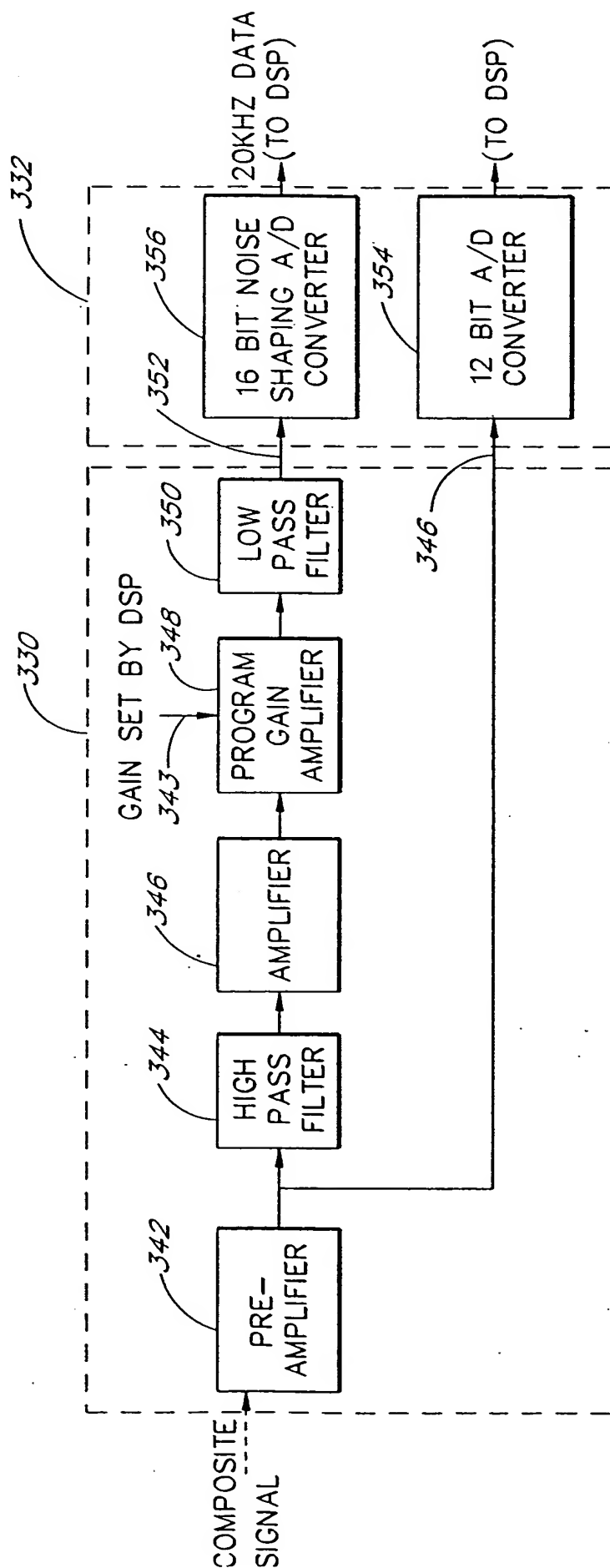
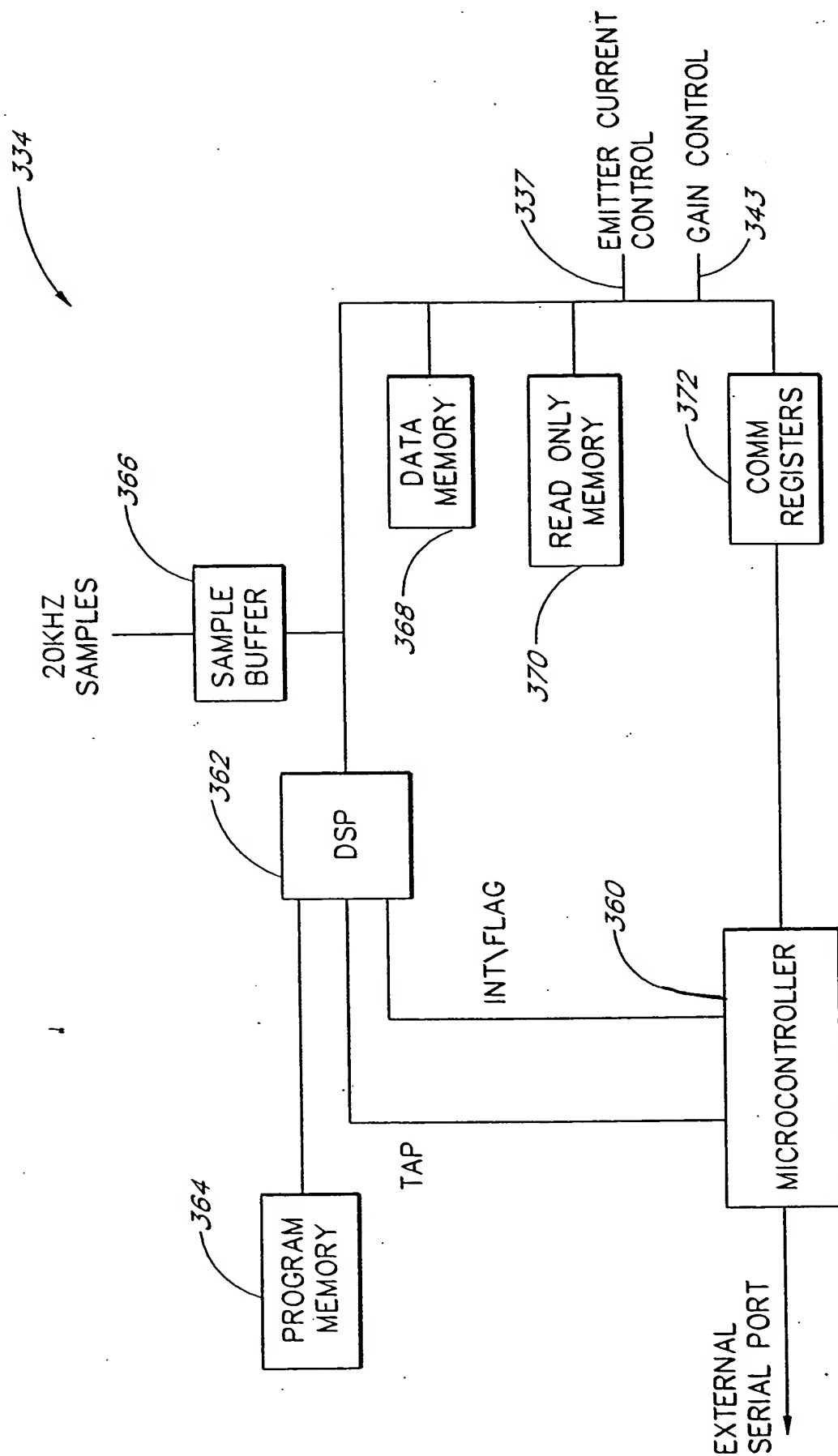


FIG. 12



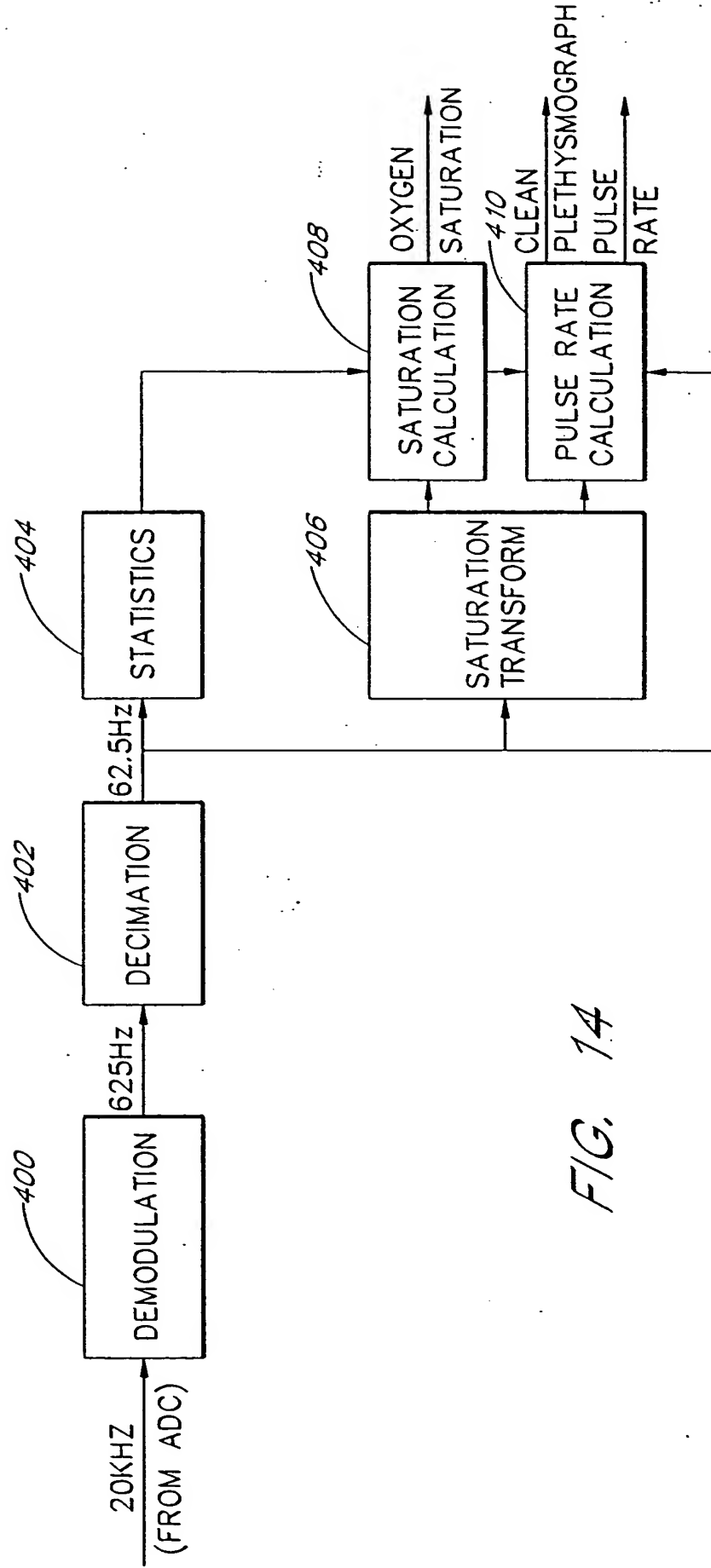


FIG. 14

FIG. 10

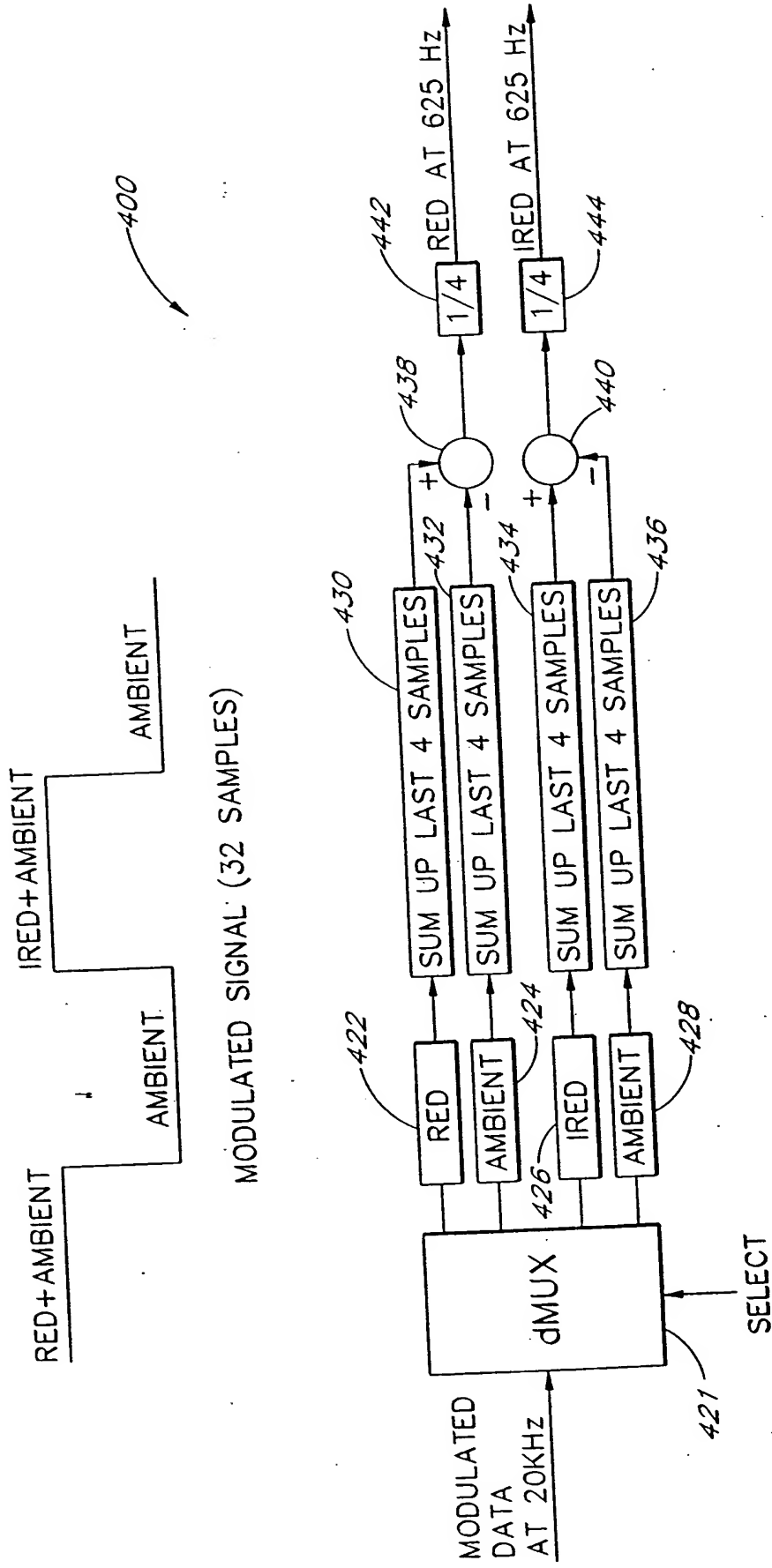


FIG. 15

402

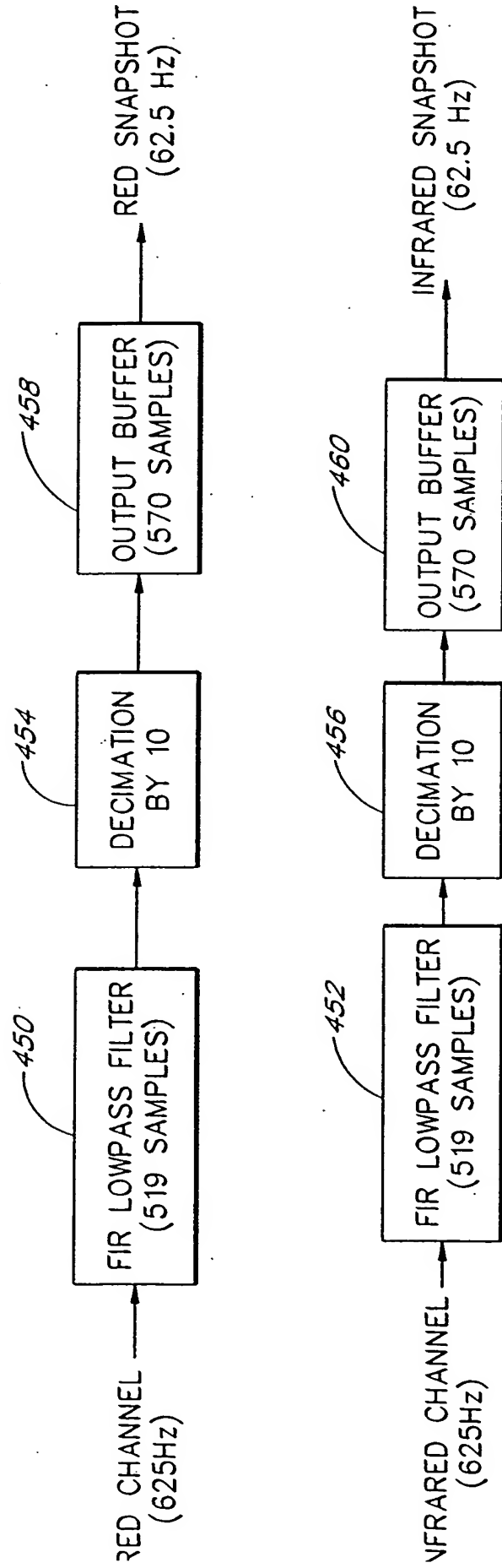


FIG. 16

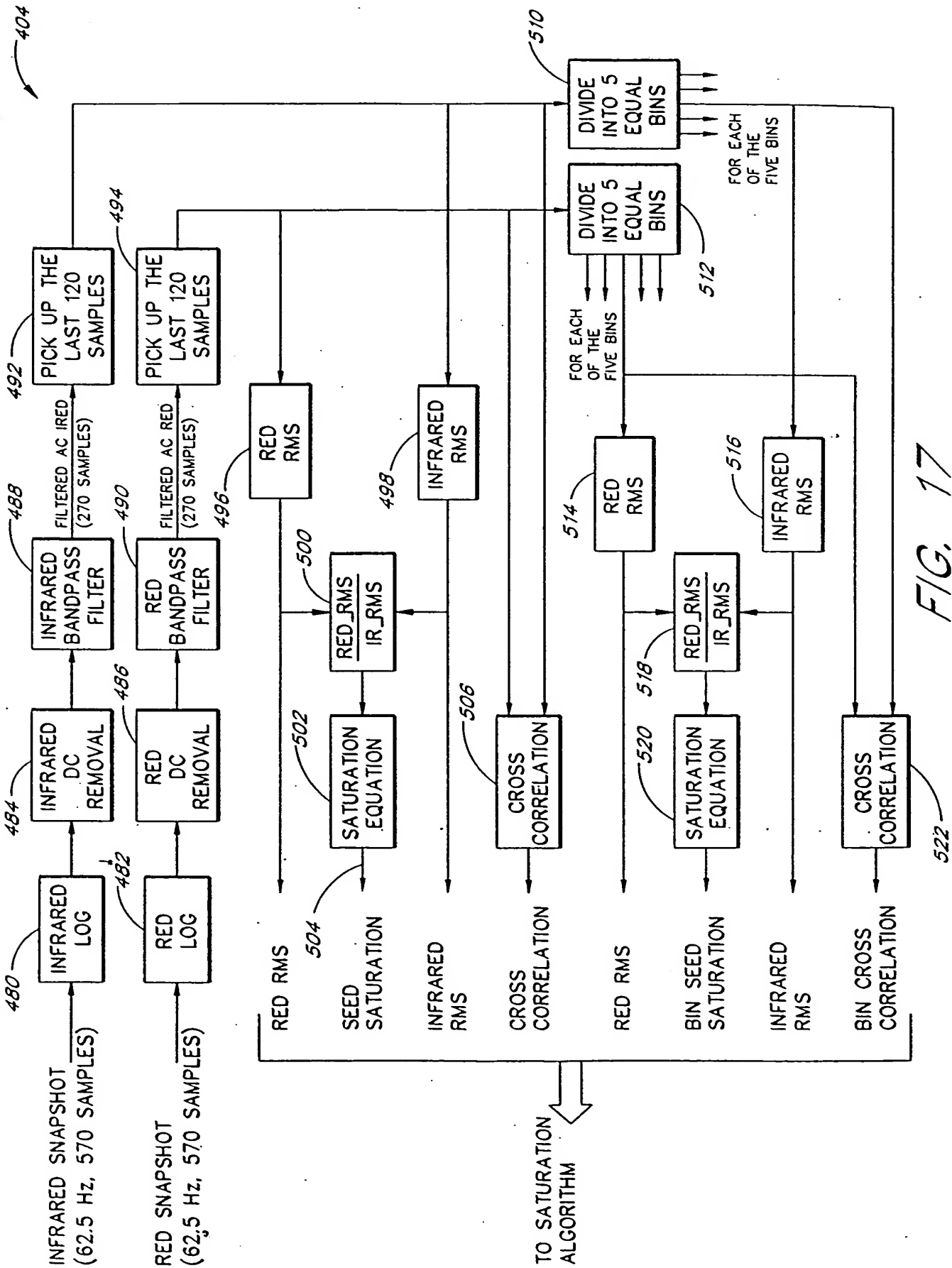


FIG. 17

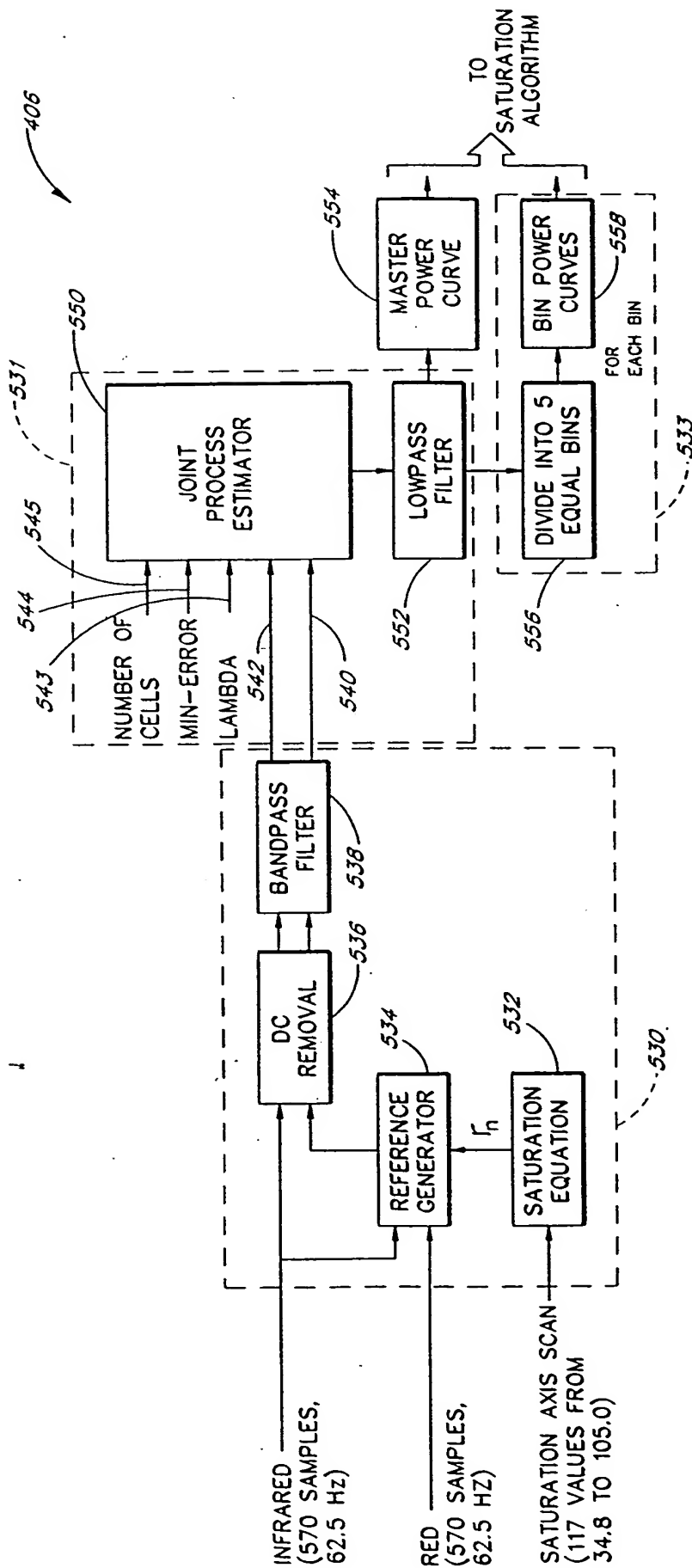


FIG. 18

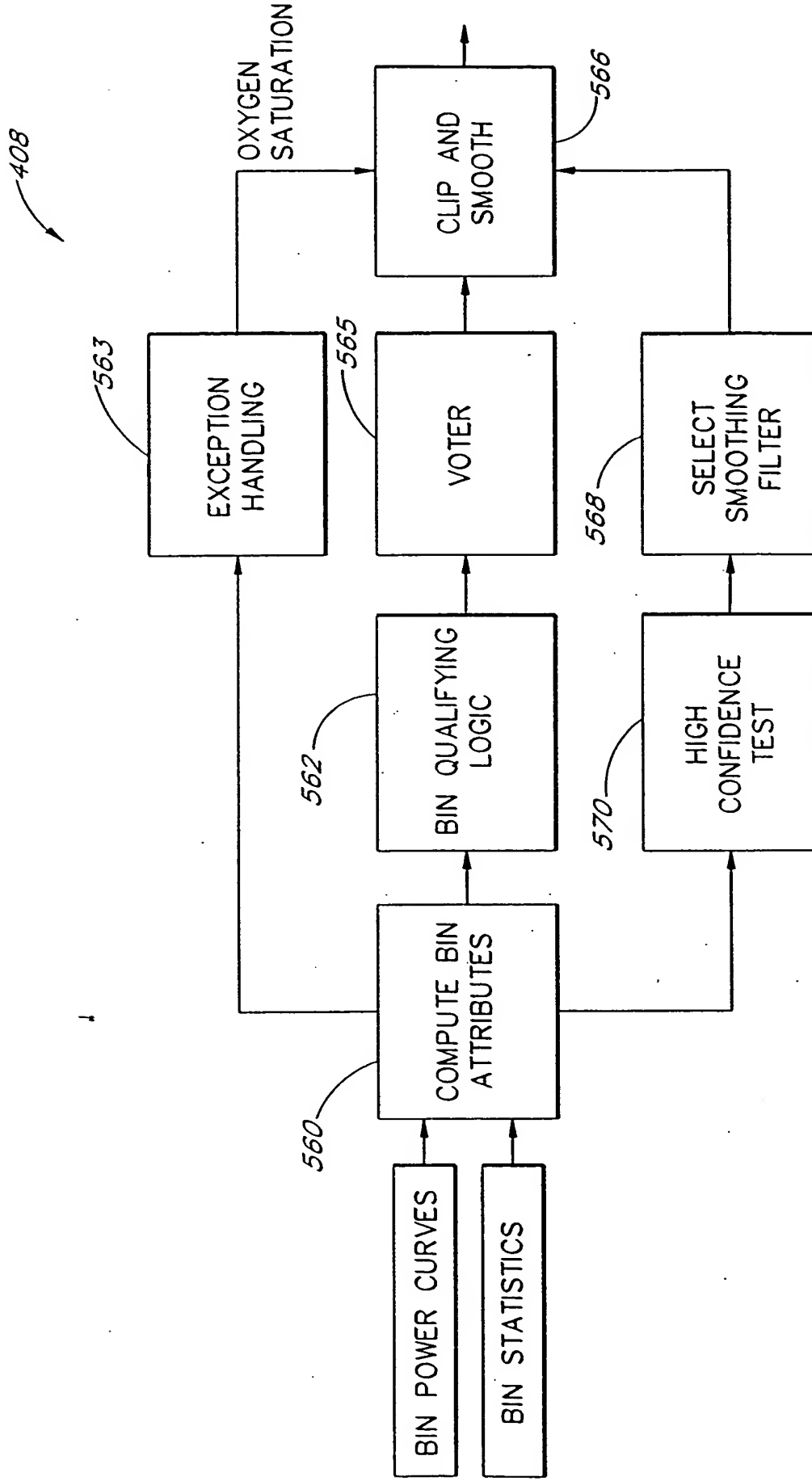


FIG. 19

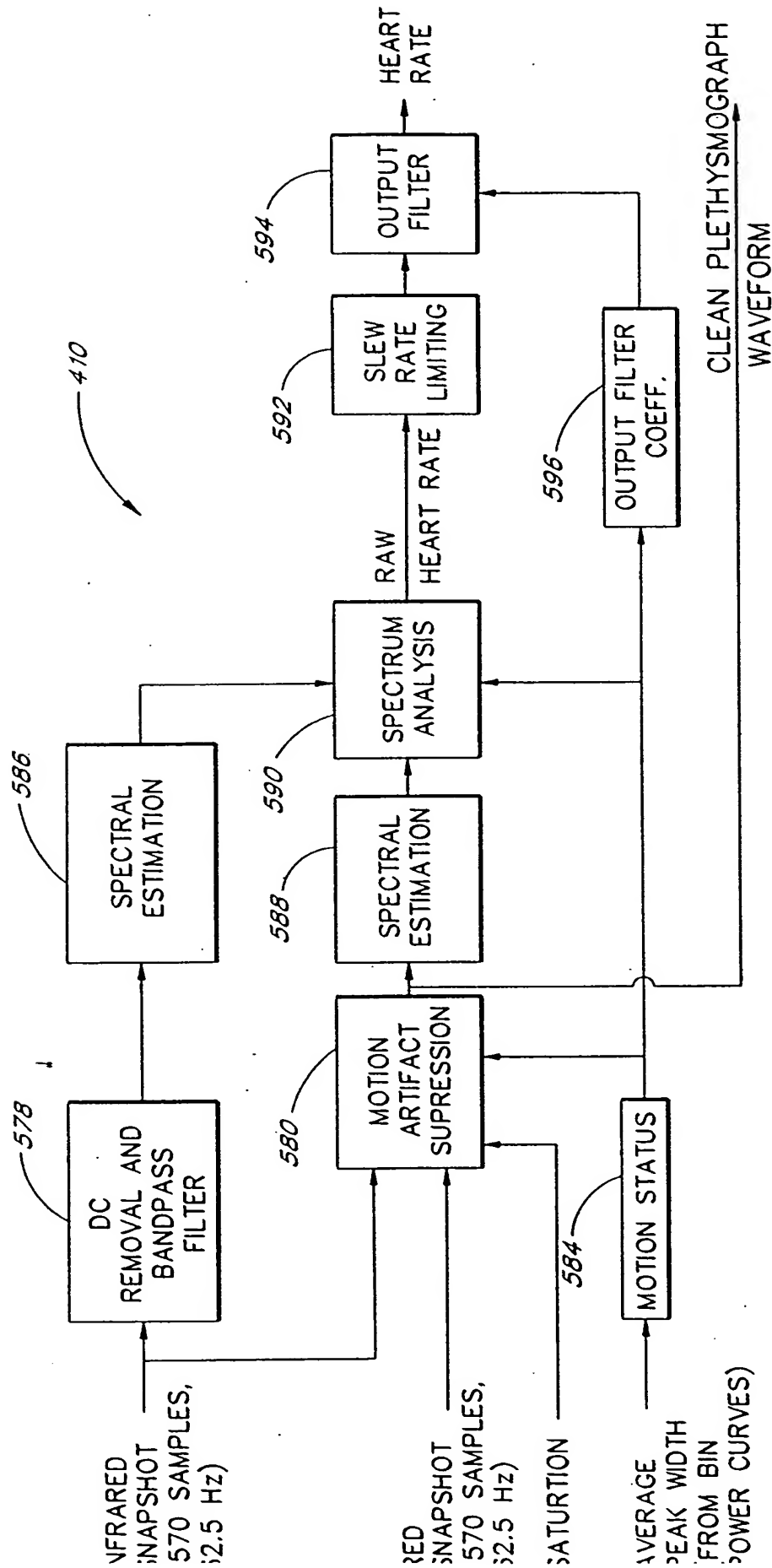


FIG. 20

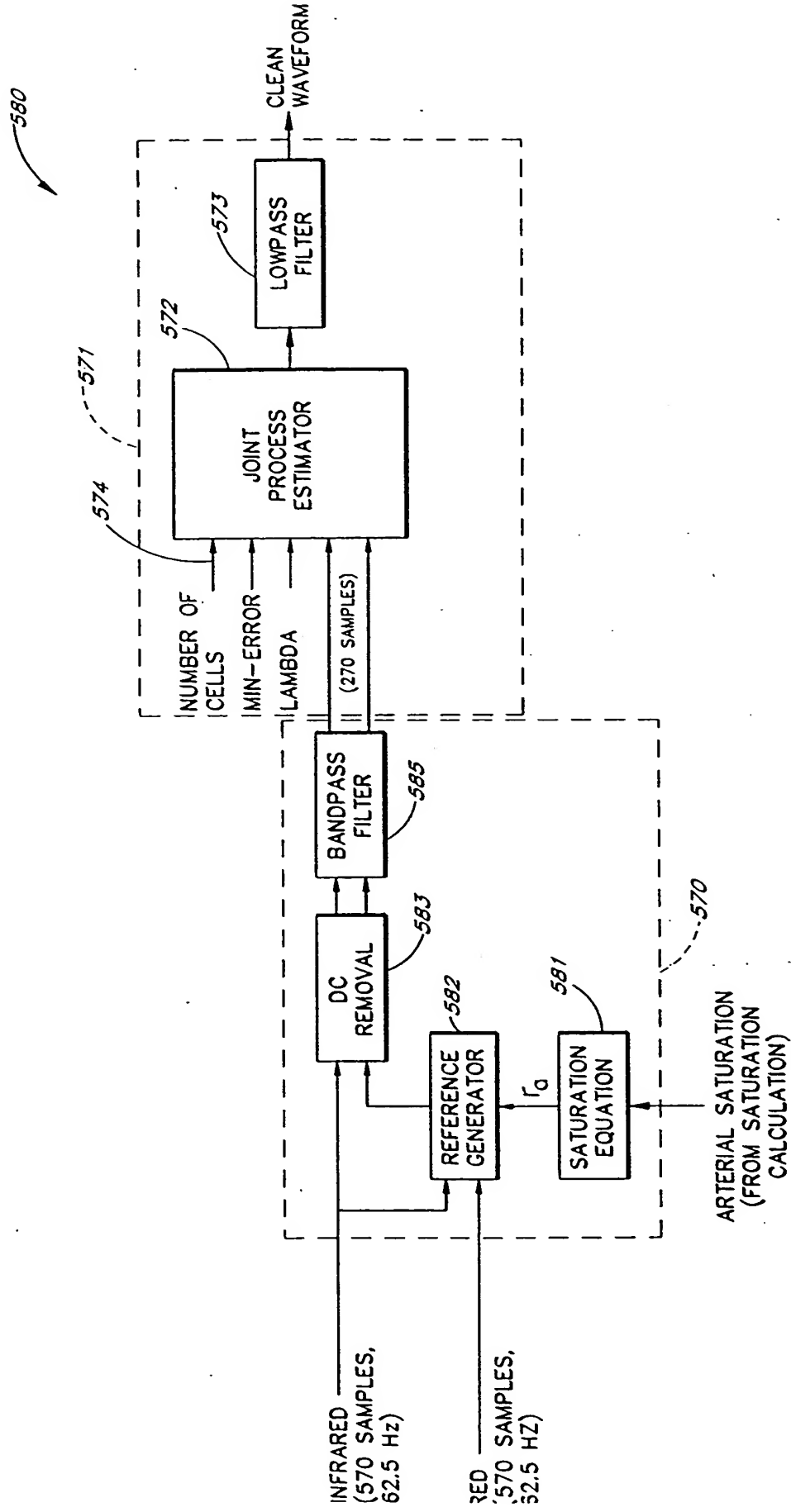


FIG. 21

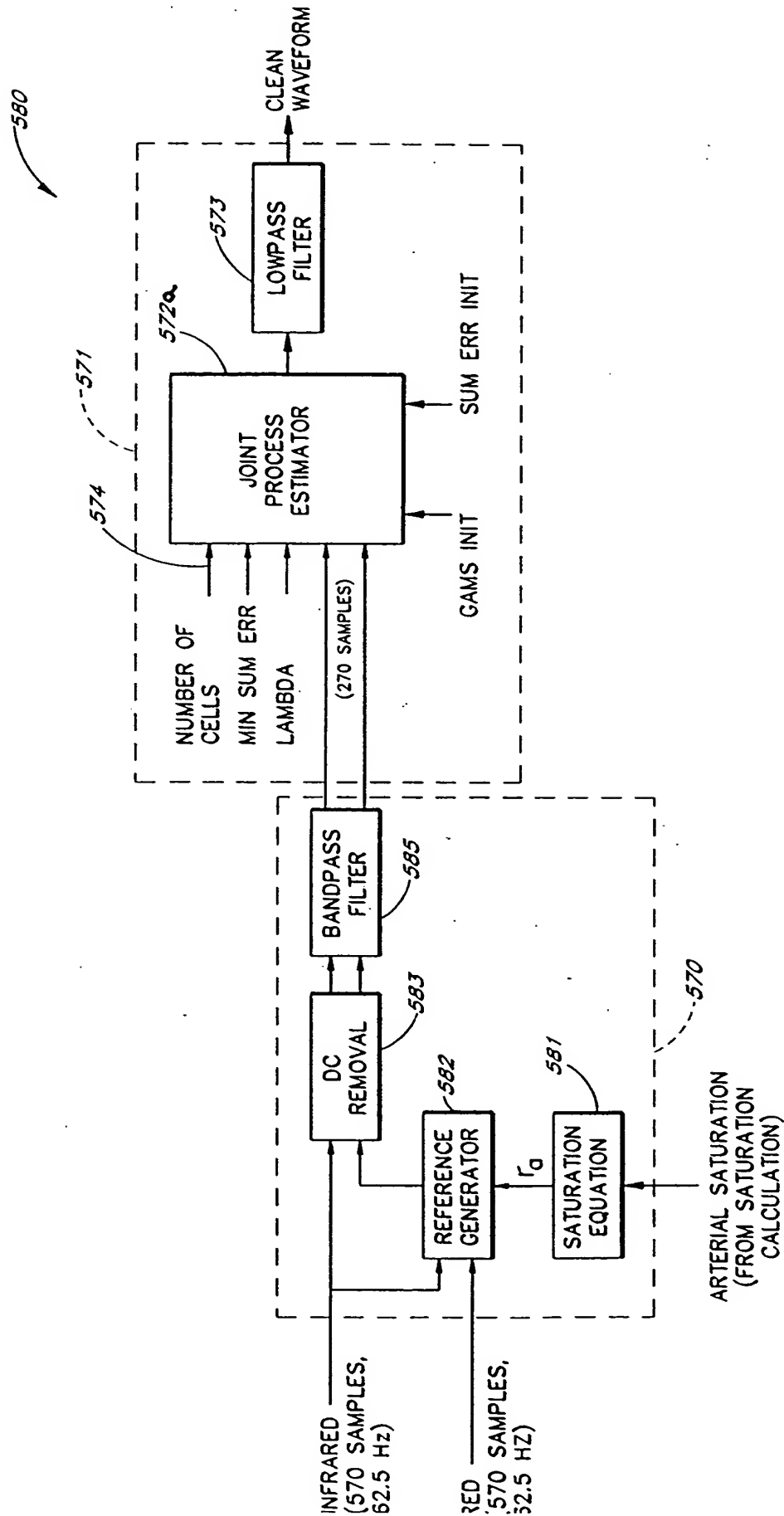
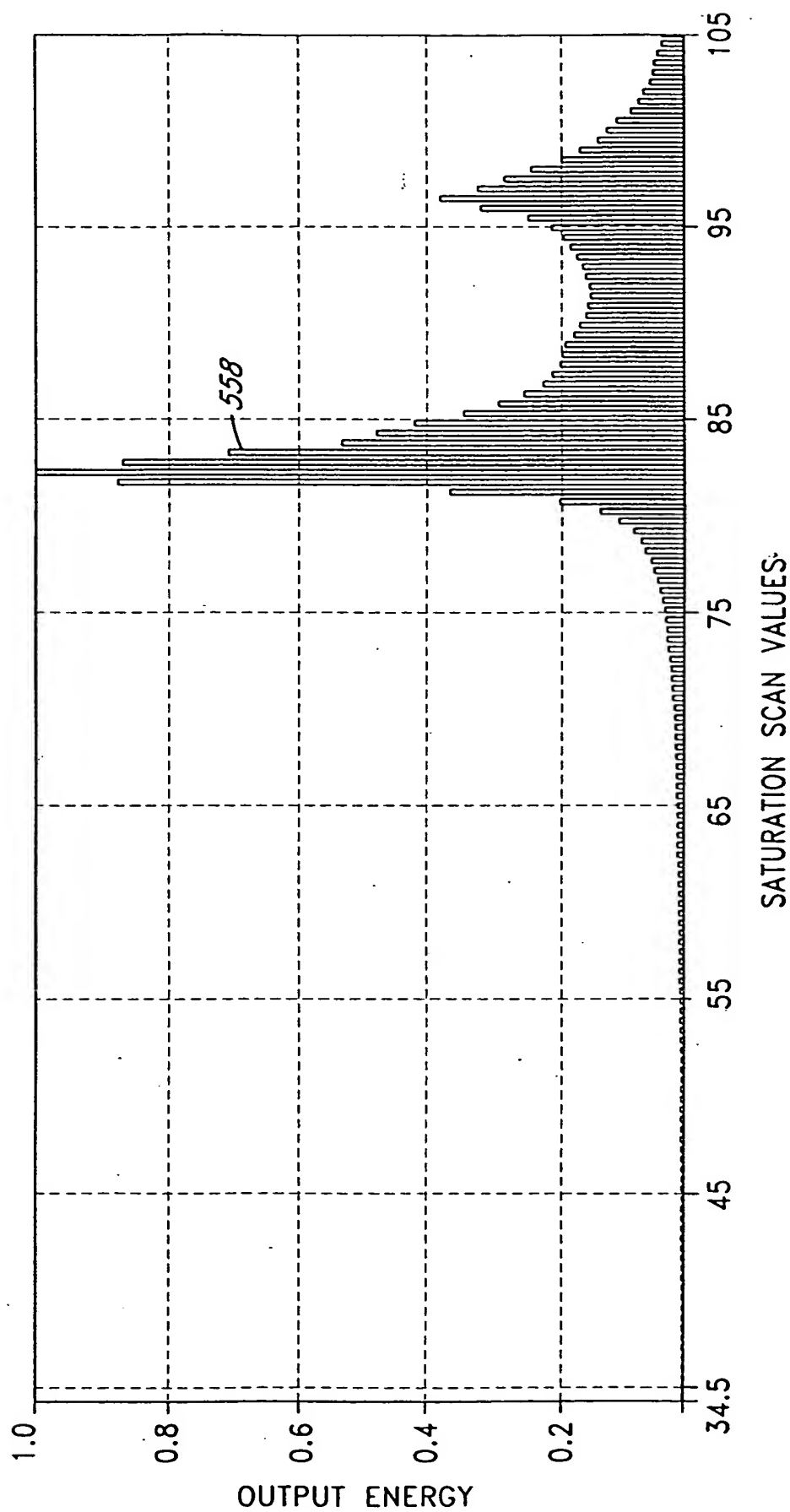


FIG. 21a

FIG. 22



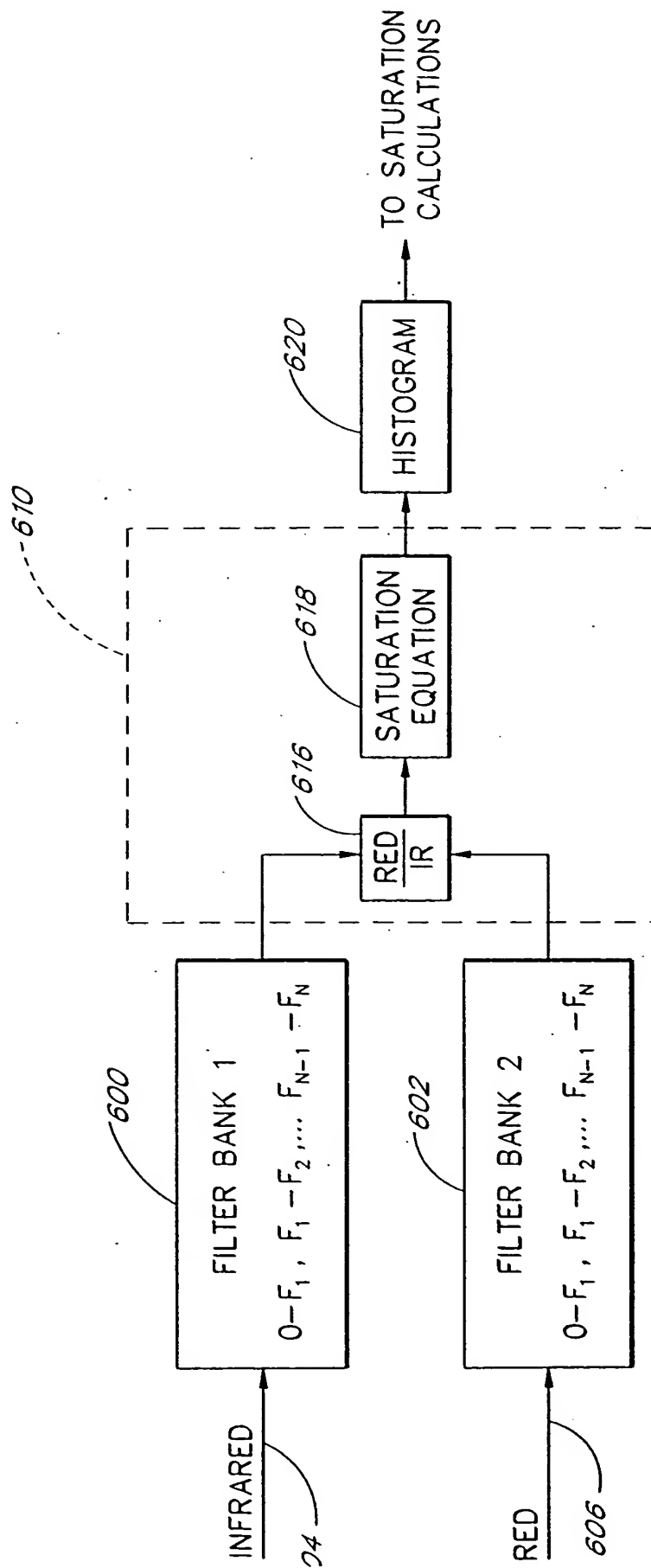
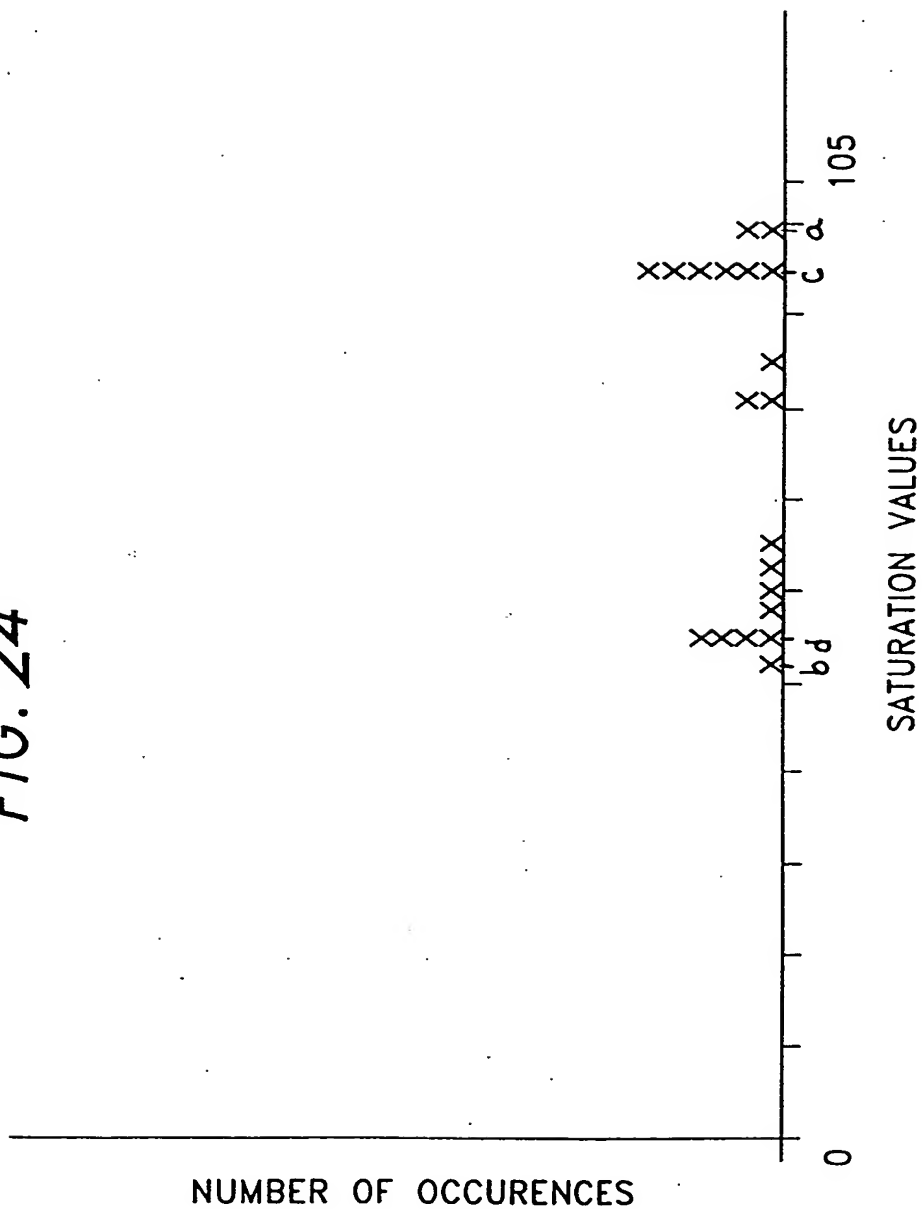


FIG. 23

FIG. 24



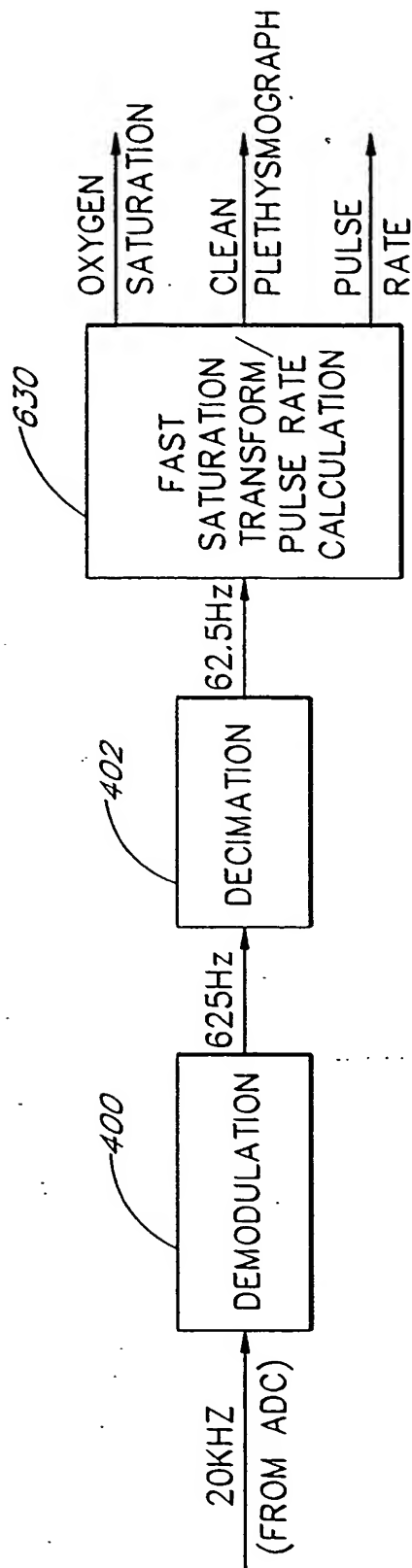


FIG. 25A

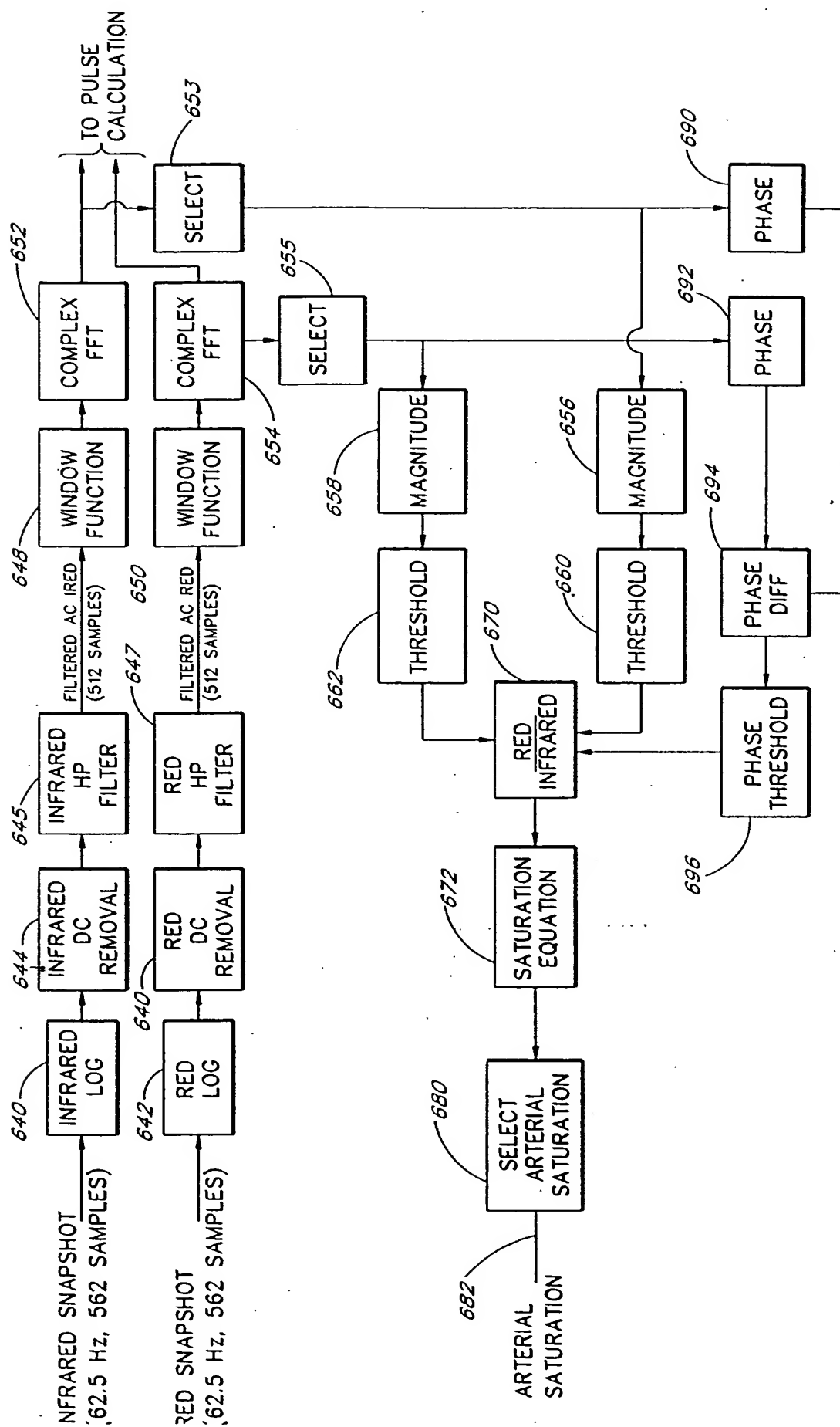


FIG. 25B

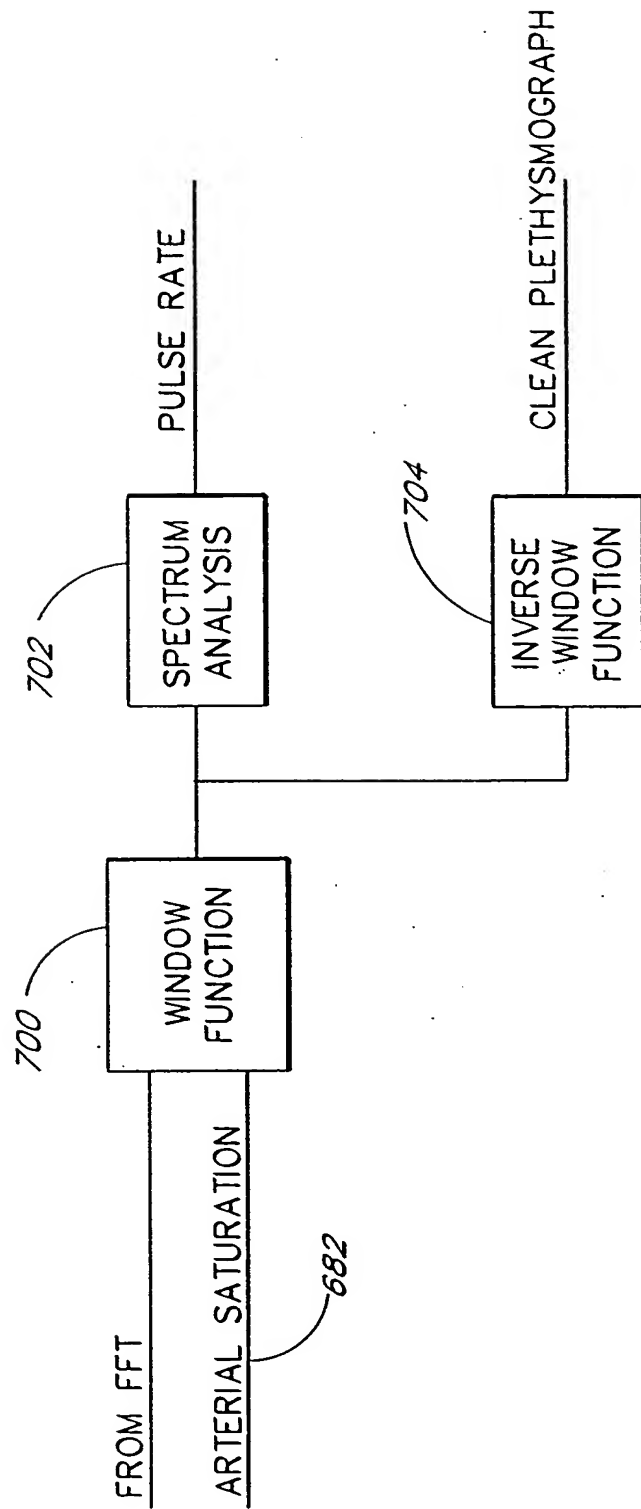


FIG. 25C

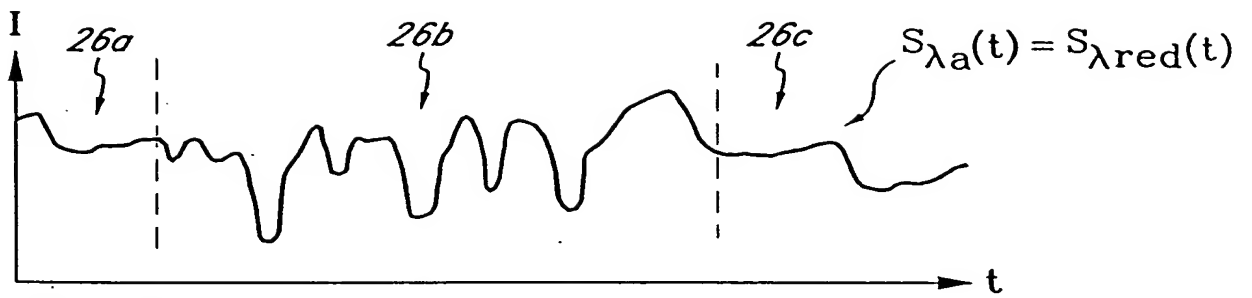


FIG. 26

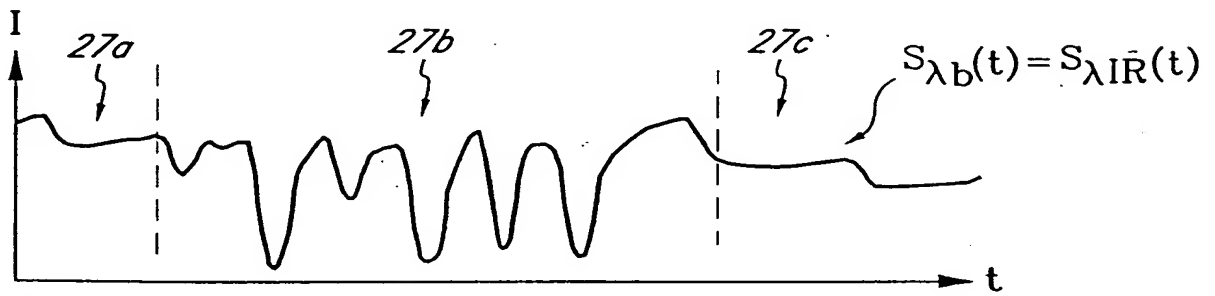


FIG. 27

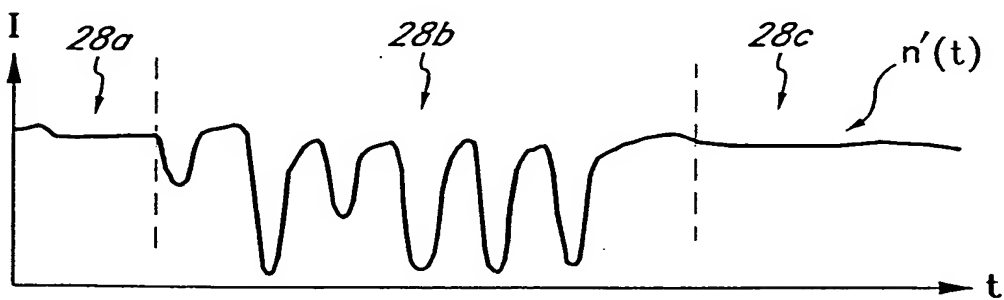


FIG. 28

4065359-013052

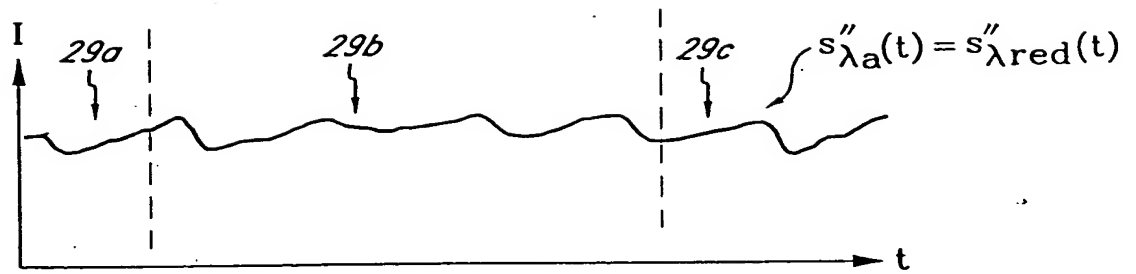


FIG. 29



FIG. 30

FIG. 31

